

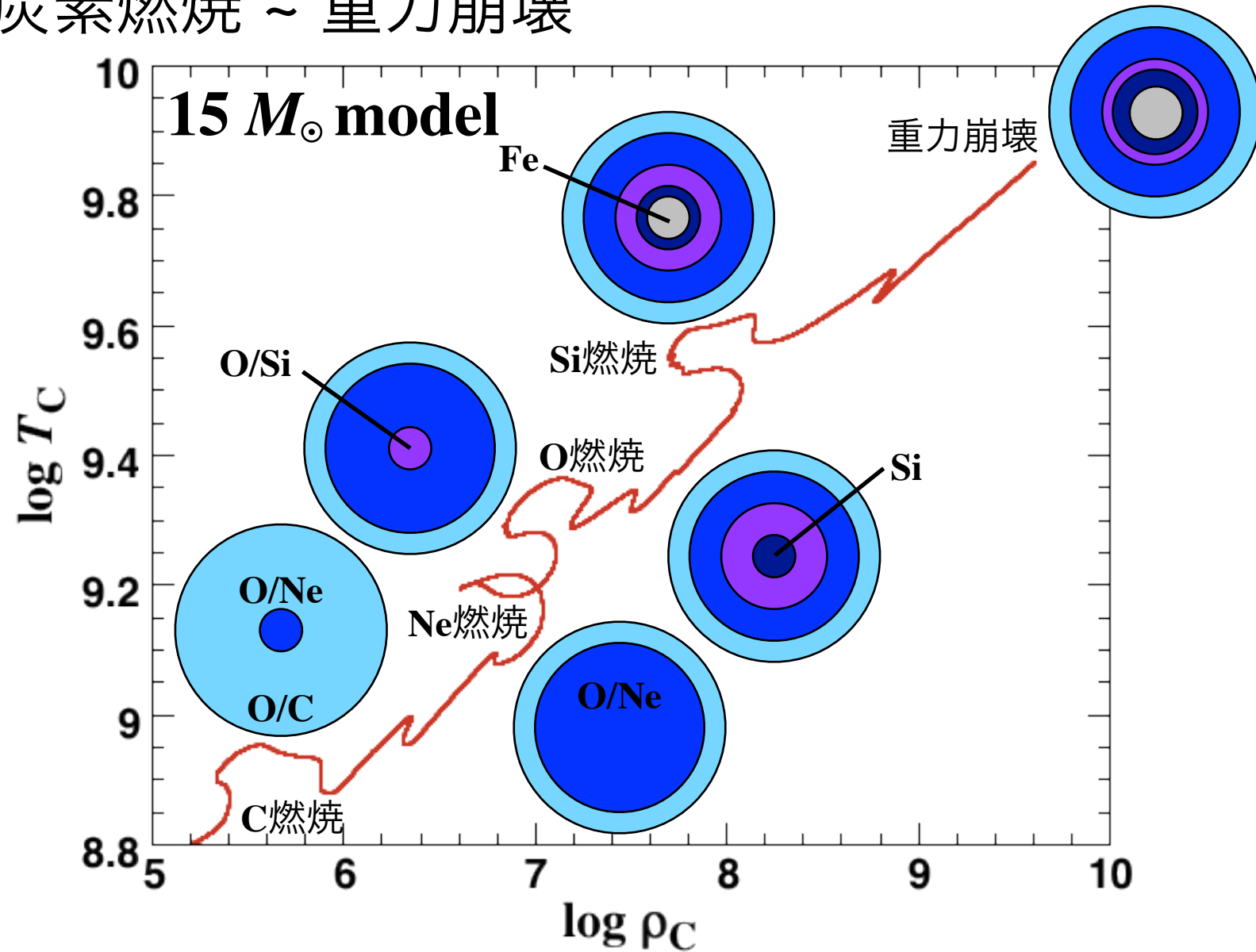
超新星前兆ニュートリノと 重力崩壊直前における大質量星の内部構造進化

吉田 敬, 梅田秀之, 高橋 亘
(東京大学大学院理学系研究科天文学専攻)

新学術「地下素核研究」第二回超新星ニュートリノ研究会
2016年1月6日 富山商工会議所

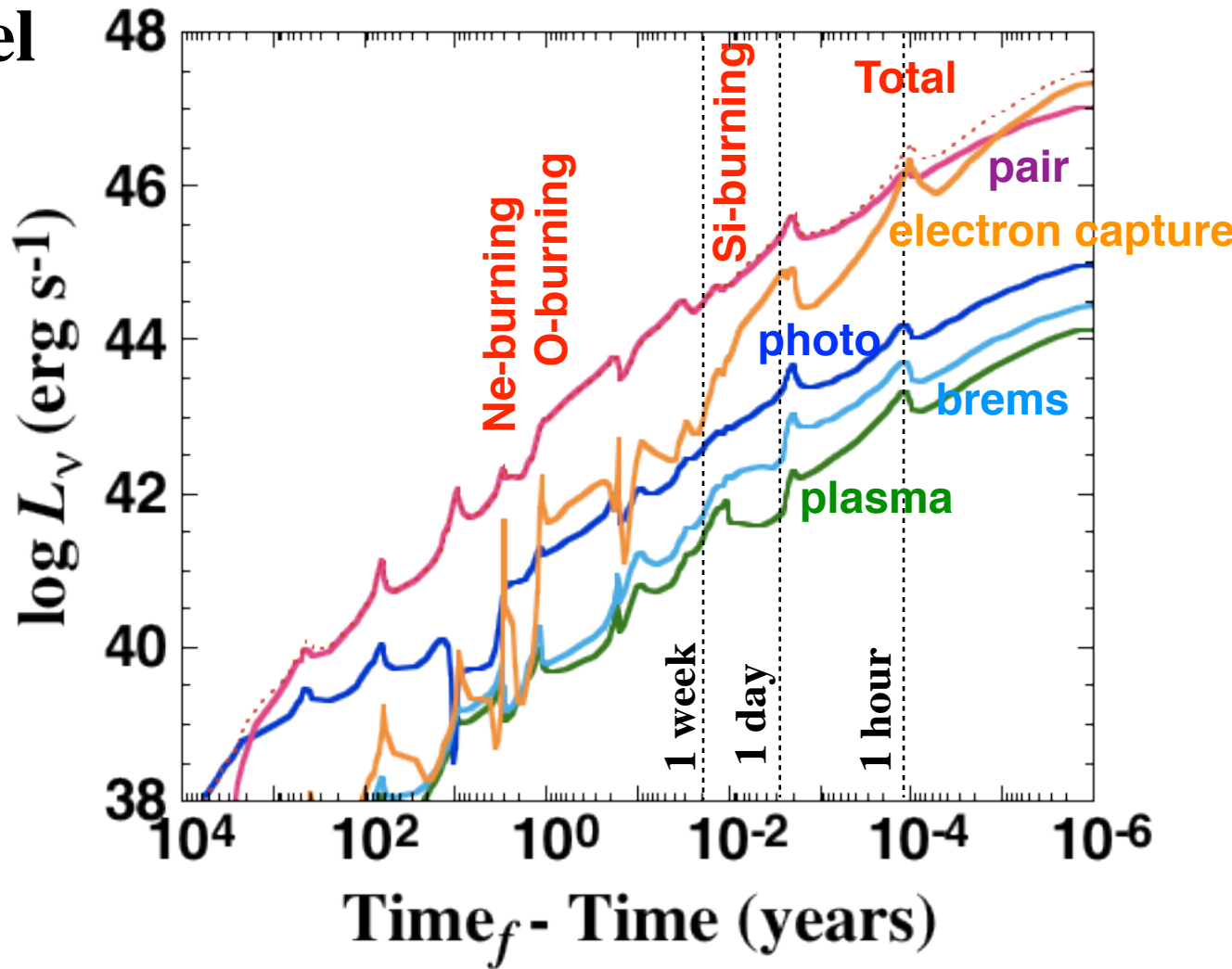
大質量星の後期進化

- 大質量星(初期質量 $8-10M_{\odot}$ 以上の星)の後期進化
→ 炭素燃焼 ~ 重力崩壊



大質量星から放出されるニュートリノ

$15 M_{\odot}$ model



- pair neutrinoが主な生成過程
- 重力崩壊直前はelectron captureが重要に

超新星前兆ニュートリノの最近の研究

2000年代～

- 素過程を元にしたニュートリノスペクトルの計算
 - pair neutrinos
Ordzywolek et al. (2004); Misiaszek et al. (2006)
 - plasma neutrinos
Ordzywolek (2007)
 - neutrinos by weak interactions
Ordzywolek (2009)
- presupernova neutrinoのevent数 (proceedings)
Ordzywolek et al. (2007); Ordzywolek & Heger (2010)

2015年

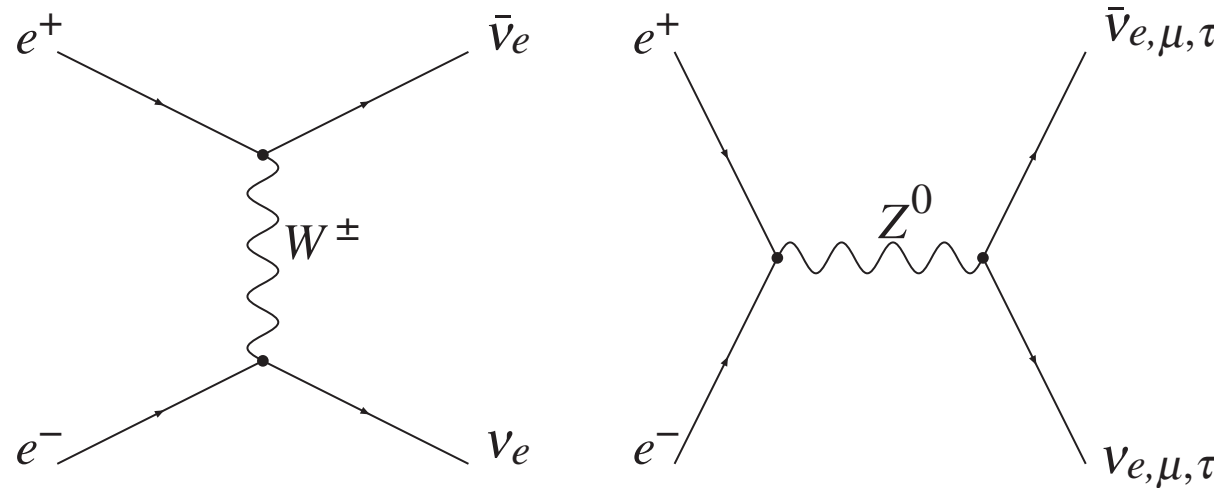
- presupernovaからのneutrinoの生成率とevent数
 - Kato et al. (2015) Electron capture SNと重力崩壊型SNとの比較
 - Asakura et al. (2015, arXiv) KamLANDでの観測予測
 - Patton & Lunardini (2015, arXiv) スペクトルのsnapshot

今日の発表内容

- pair neutrino processによるニュートリノ放出
…温度, 密度依存性
- $15M_{\odot}$ モデルのSi燃焼から重力崩壊に至るまでの
ニュートリノ放出とスペクトルの変化
- $12, 15, 20M_{\odot}$ モデルにおけるニュートリノ放出と
KamLANDによる観測可能性
- KamLAND, JUNOによる超新星ニュートリノ alert
- 超新星前兆ニュートリノから燃焼過程を探れるか？

Pair neutrino process

- 電子陽電子対消滅によるneutrino放出



(Misiaszek et al. 2006)

- charged current反応 $\rightarrow \nu_e, \bar{\nu}_e$ を放出
- neutral current反応 $\rightarrow (\nu_e, \bar{\nu}_e), (\nu_\mu, \bar{\nu}_\mu), (\nu_\tau, \bar{\nu}_\tau)$ を放出

neutrino生成率, スペクトルは温度, 電子陽電子数密度に依存

Neutrino spectraの見積もり

- pair neutrinoによるneutrino放出

- neutrino放出率 (Yakovlev et al. 2001)

$$r(\varepsilon_\nu, \varepsilon_{\bar{\nu}}) = \frac{c}{16(2\pi)^{12}\hbar^{12}} \int f_{e^-} f_{e^+} (2\pi)^4 \delta^4(p_{e^-} + p_{e^+} - p_\nu - p_{\bar{\nu}}) \frac{|M|^2}{\varepsilon_{e^-} \varepsilon_{e^+} \varepsilon_\nu \varepsilon_{\bar{\nu}}} d^3 p_{e^-} d^3 p_{e^+} d\Omega_\nu d\Omega_{\bar{\nu}}$$

$$|M|^2 = 16G_F^2(\hbar c)^2 \{(C_A - C_V)^2(p_{e^-} \cdot p_\nu)(p_{e^+} \cdot p_{\bar{\nu}}) + (C_A + C_V)^2(p_{e^+} \cdot p_\nu)(p_{e^-} \cdot p_{\bar{\nu}}) + m_e^2 c^4 (C_A^2 - C_V^2)(p_\nu \cdot p_{\bar{\nu}})\}$$

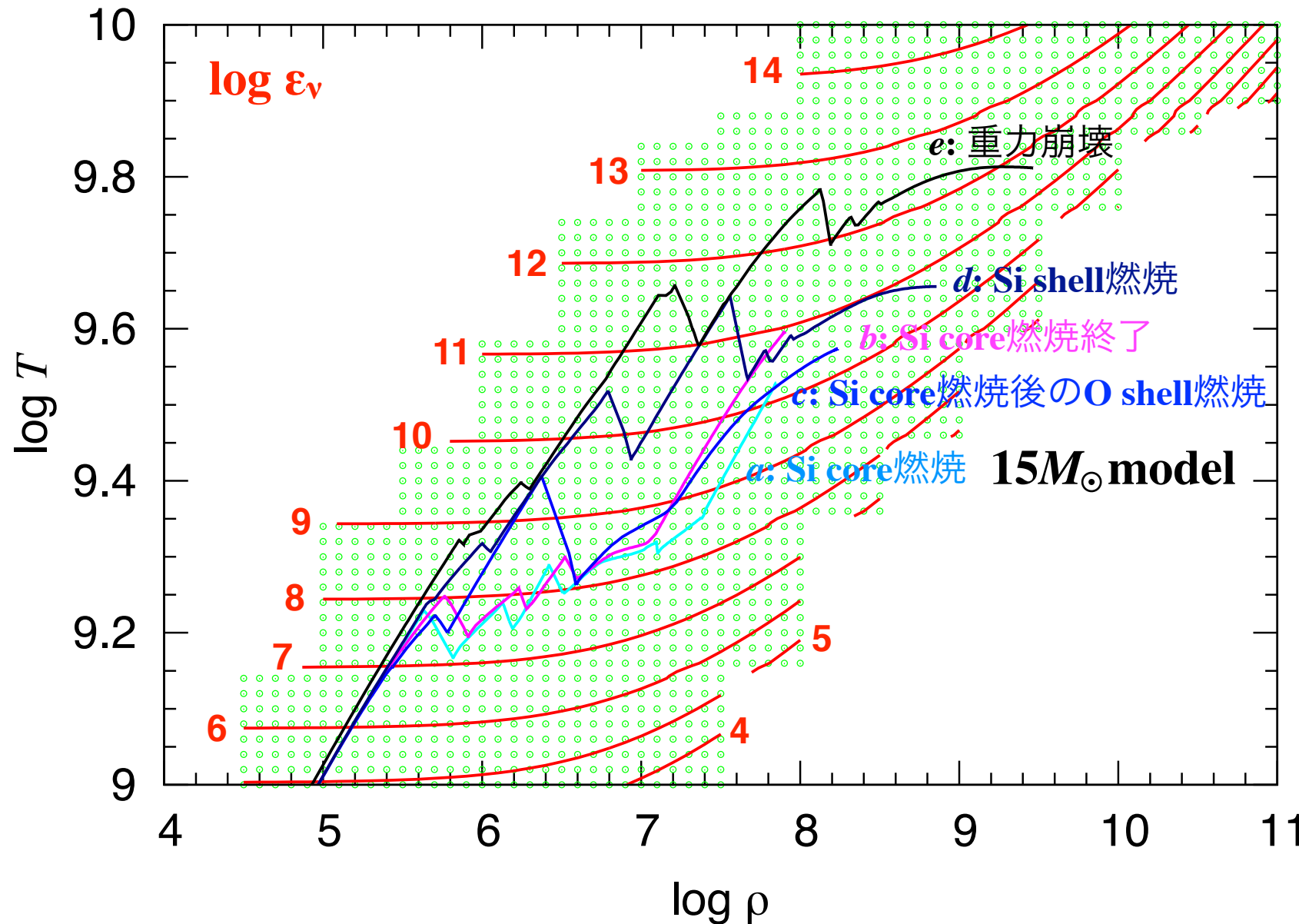
	C_V	C_A
ν_e	$0.5 + 2\sin^2\theta_w$	0.5
$\nu_{\mu\tau}$	$-0.5 + 2\sin^2\theta_w$	-0.5

- ➡ ν_e の方が $\nu_{\mu\tau}$ よりも放出率が大きい
- ➡ 普通は $\nu_e, \nu_{\mu\tau}$ の方が $\bar{\nu}_e, \bar{\nu}_{\mu\tau}$ よりも平均エネルギーが大きい

- モンテカルロシミュレーションでν spectraを求める
(Odrzywolek et al. 2004の方法を改良)

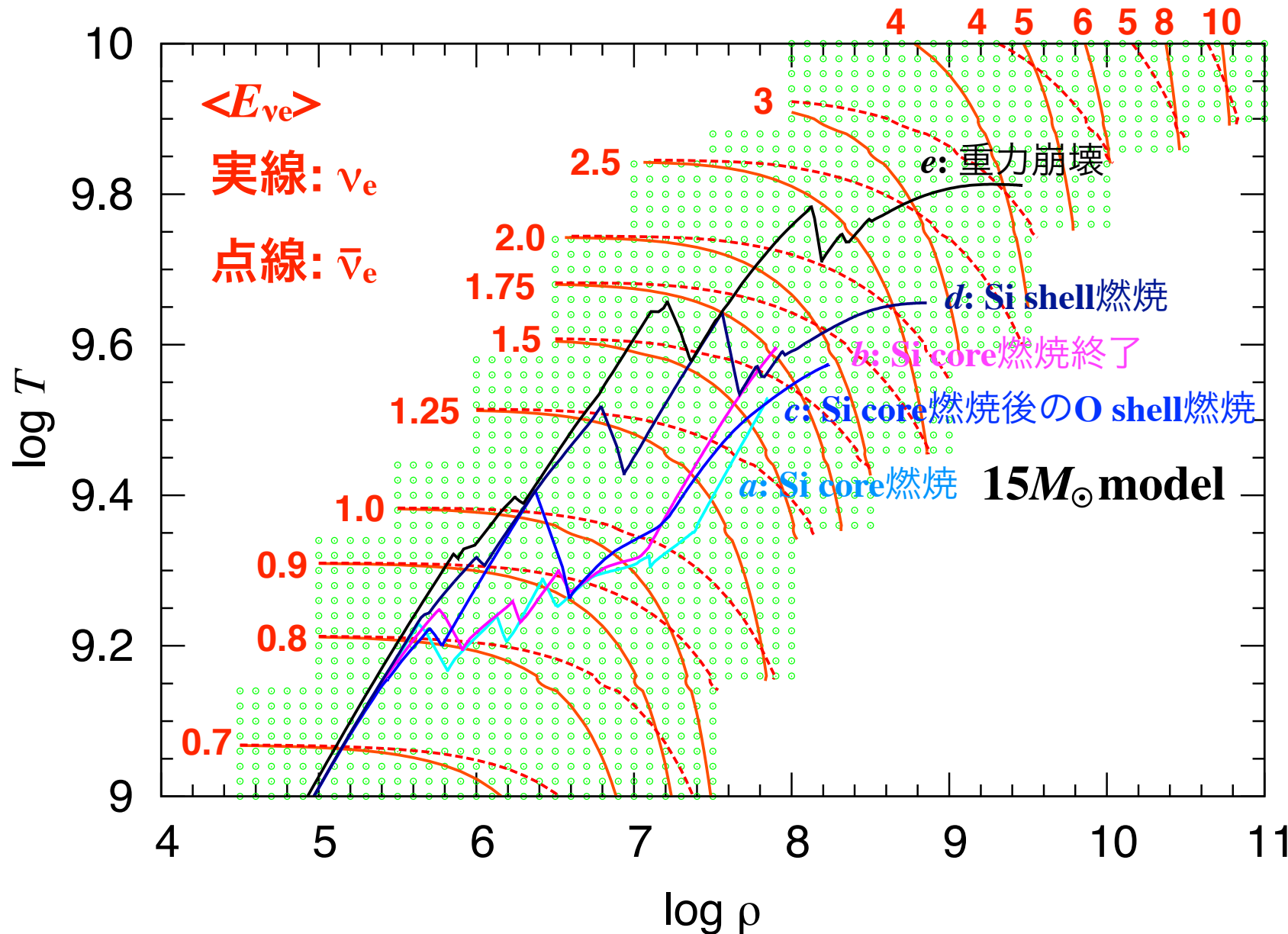
pair neutrinoによるエネルギー放出率

- 単位質量当たりのエネルギー放出率 ($\text{erg g}^{-1} \text{s}^{-1}$)



pair neutrinoの平均エネルギー

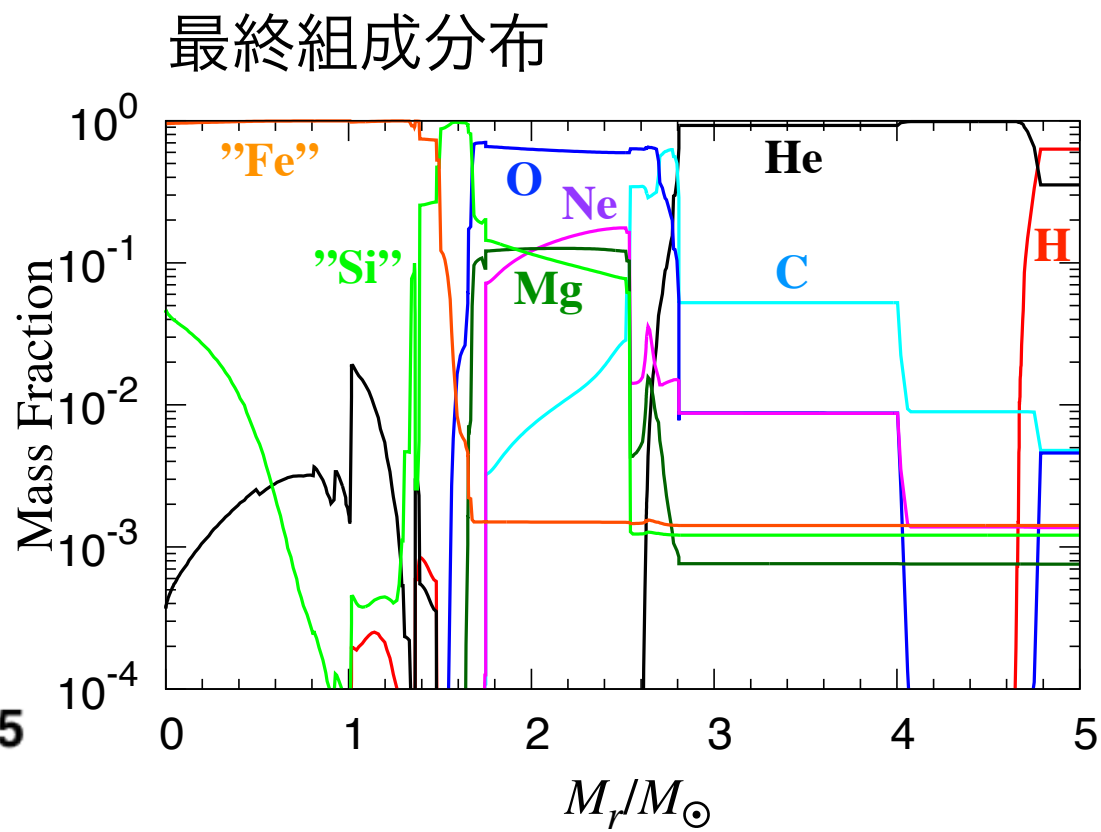
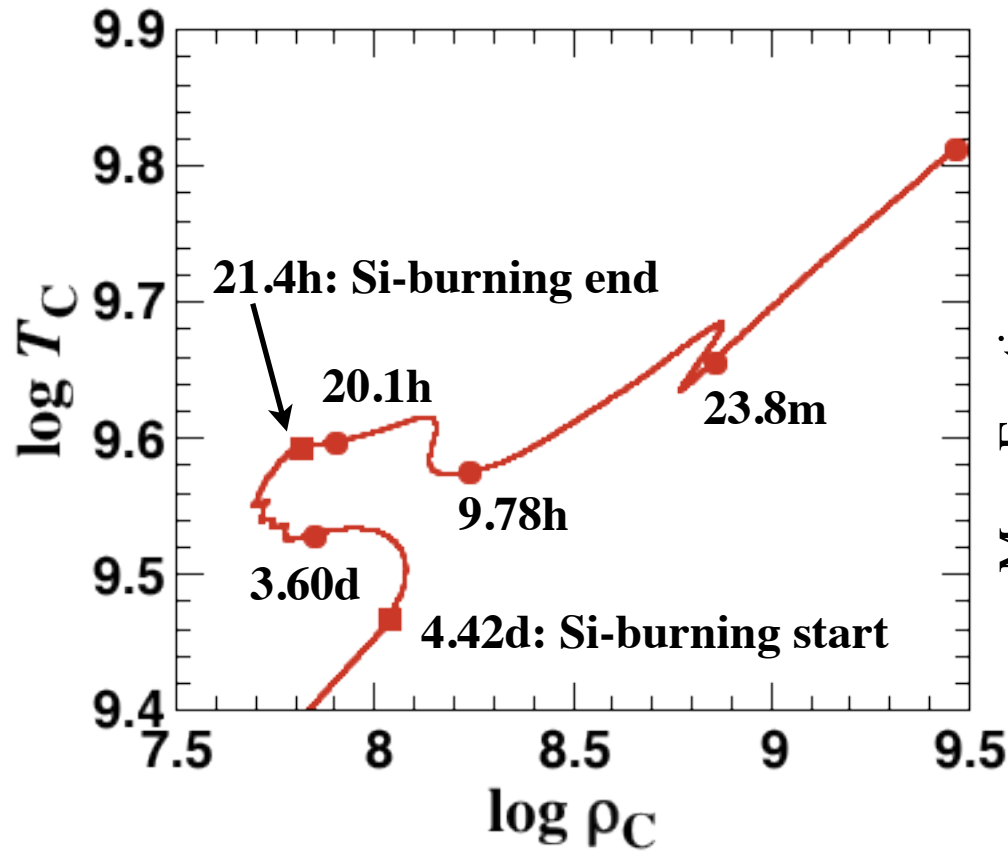
- $\nu_e, \bar{\nu}_e$ の平均エネルギー (MeV)



$15M_{\odot}$ モデルの後期進化とneutrino放出

● $15M_{\odot}$ モデル

M/M_{\odot}	M_f	M_{He}	M_{CO}	M_{Si}	M_{Fe}	Si-b (d)
15	12.3	4.66	2.74	1.65	1.50	4.42



$15M_{\odot}$ モデルの後期進化とneutrino放出

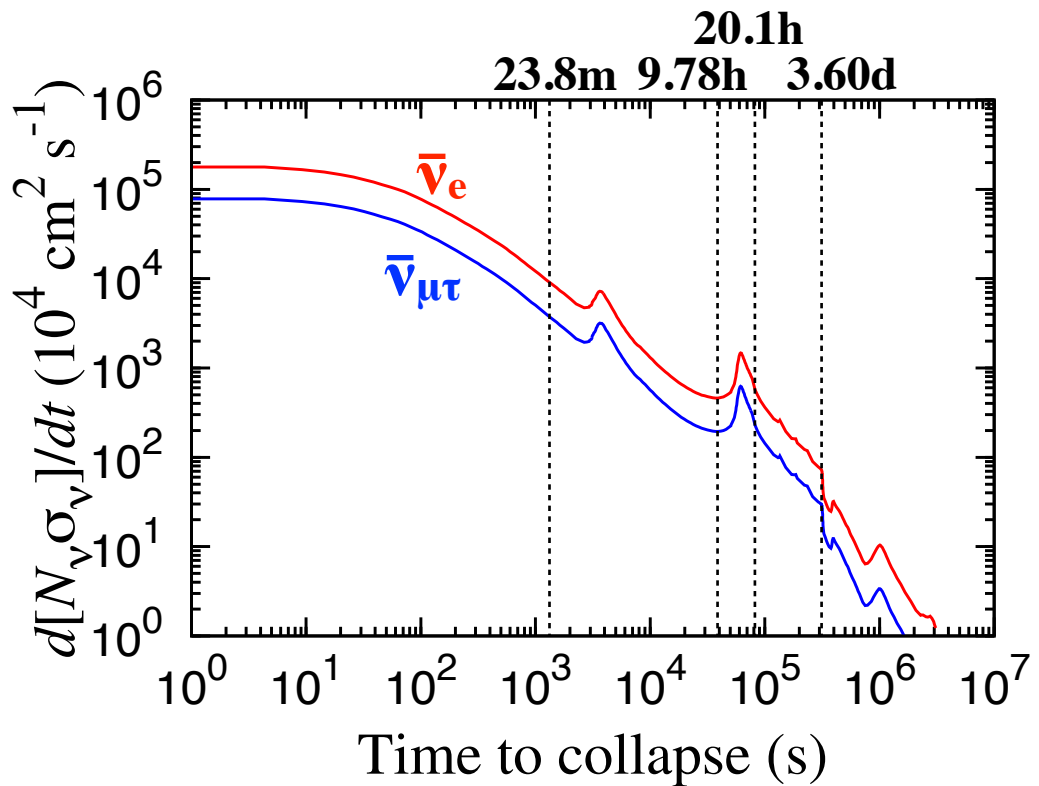
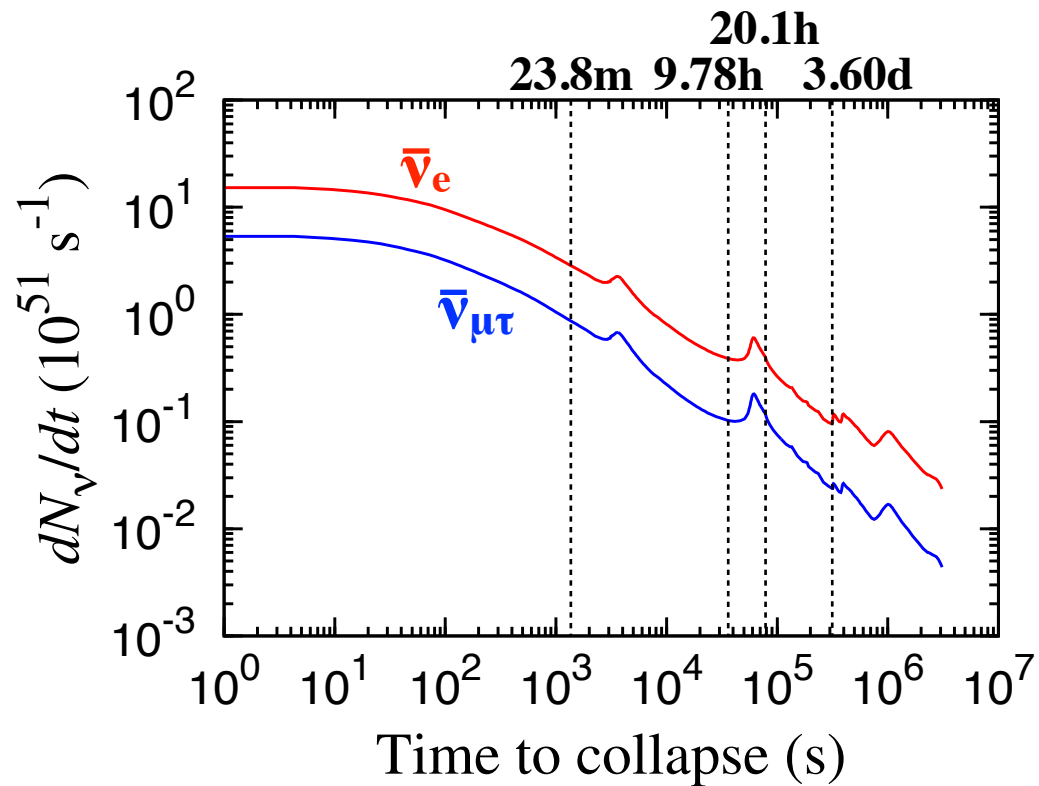
● $15M_{\odot}$ モデル

M/M_{\odot}	M_f	M_{He}	M_{CO}	M_{Si}	M_{Fe}	Si-b (d)
15	12.3	4.66	2.74	1.65	1.50	4.42

● ニュートリノ放出率

$$\bullet \int \phi_{\bar{\nu}}(E_{\nu}, M_r) \sigma_{\bar{\nu}e}(E_{\nu}) dE_{\nu} dM_r$$

$\sigma(p + \bar{\nu}_e \rightarrow n + e^+)$: Strumia & Vissani (2003)



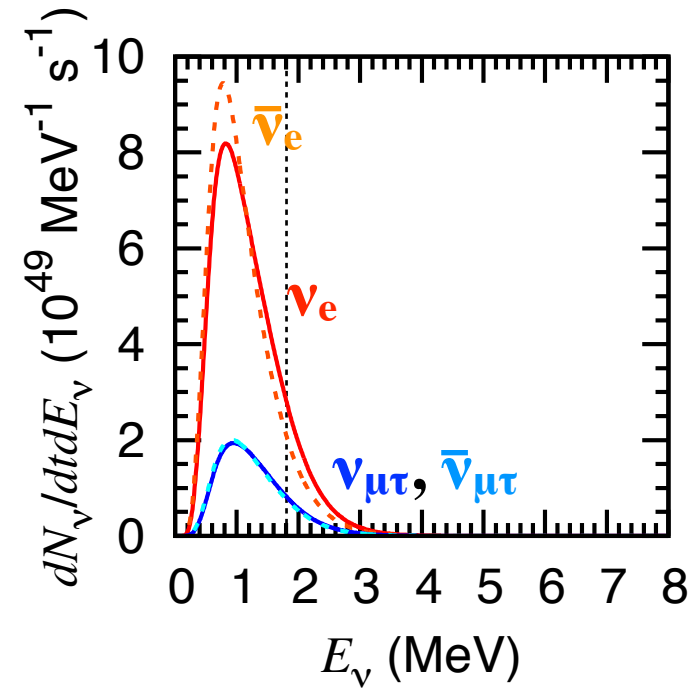
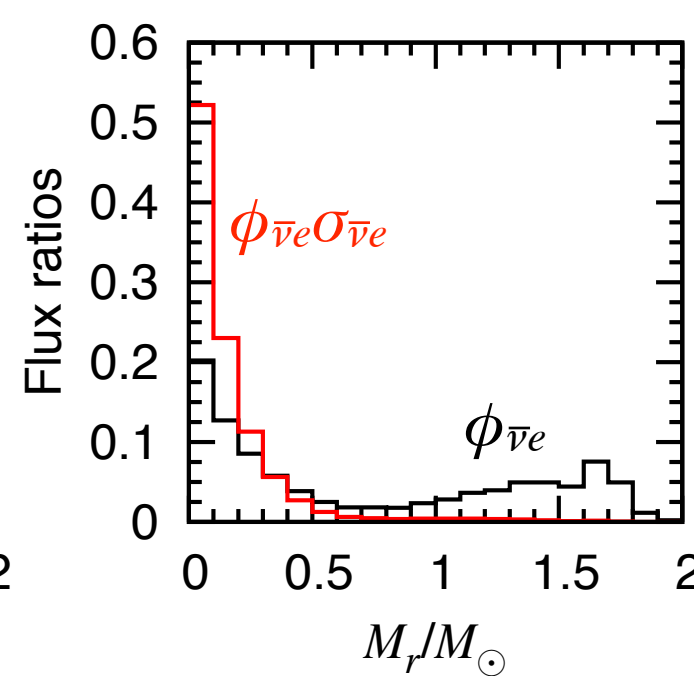
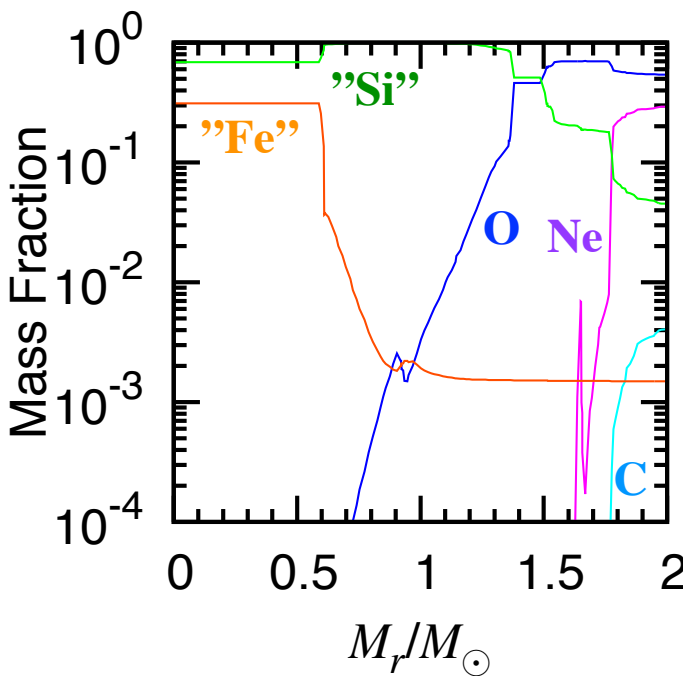
Si燃焼初期におけるneutrino spectra

● $15M_{\odot}$ モデルにおけるneutrino spectra

- 左図: 質量比分布
- 中図: $\int \phi_{\bar{\nu}e}(E_{\nu}, M_r) dE_{\nu} dM_r, \int \phi_{\bar{\nu}e}(E_{\nu}, M_r) \sigma_{\bar{\nu}e}(E_{\nu}) dE_{\nu} dM_r$ の分布
- 右図: neutrino spectra

● 最終stepまで 3.60 days (Si core 燃焼中)

$$\log T_C = 9.53, \log \rho_C = 7.85$$



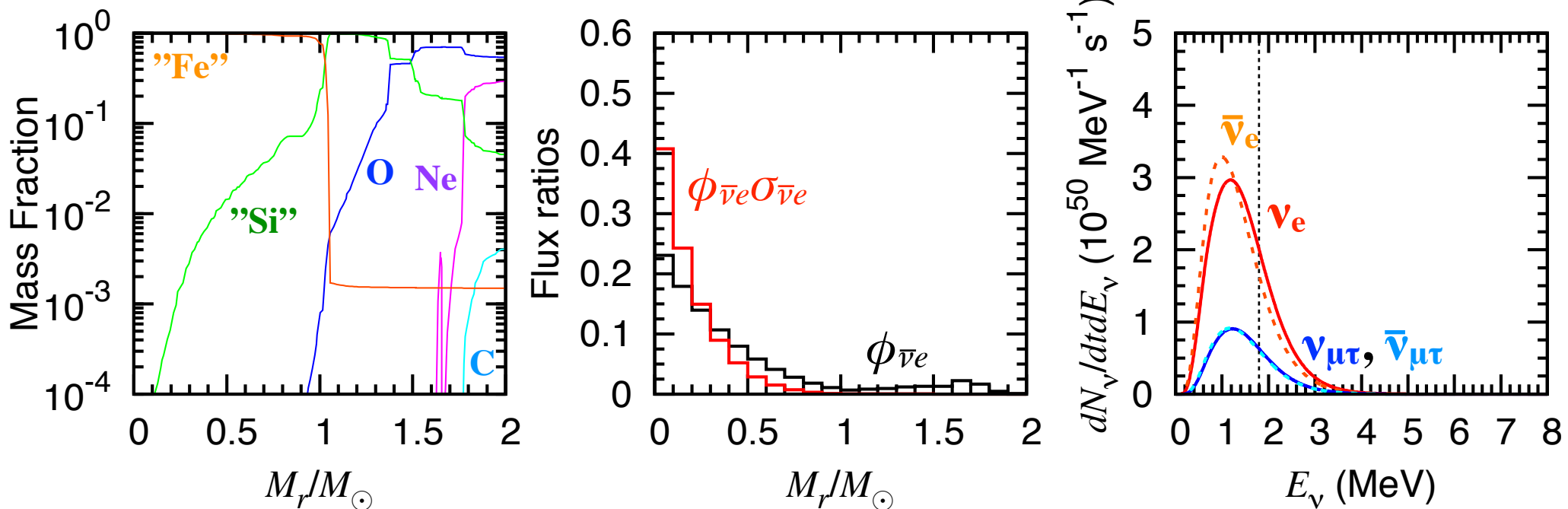
Si燃焼後におけるneutrino spectra

● $15M_{\odot}$ モデルにおけるneutrino spectra

- 左図: 質量比分布
- 中図: $\int \phi_{\bar{\nu}e}(E_{\nu}, M_r) dE_{\nu} dM_r, \int \phi_{\bar{\nu}e}(E_{\nu}, M_r) \sigma_{\bar{\nu}e}(E_{\nu}) dE_{\nu} dM_r$ の分布
- 右図: neutrino spectra

● 最終stepまで 20.1 hours (core Si 燃焼後)

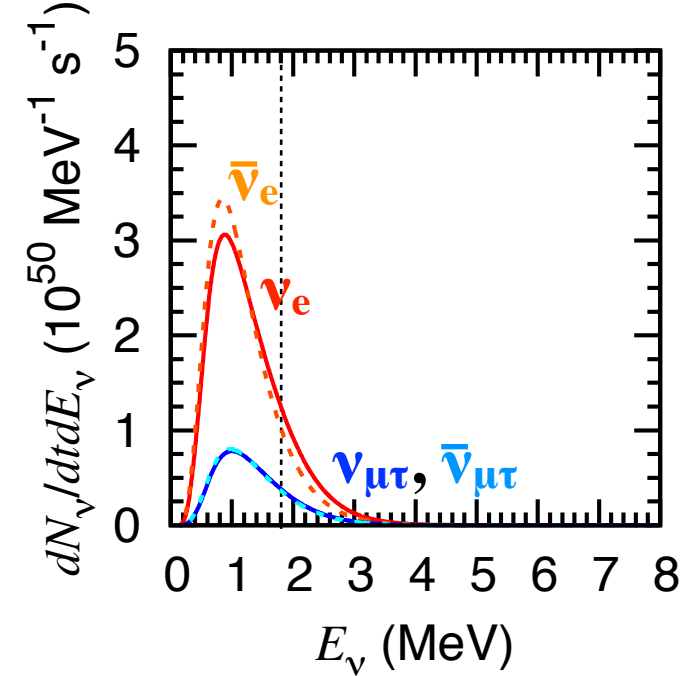
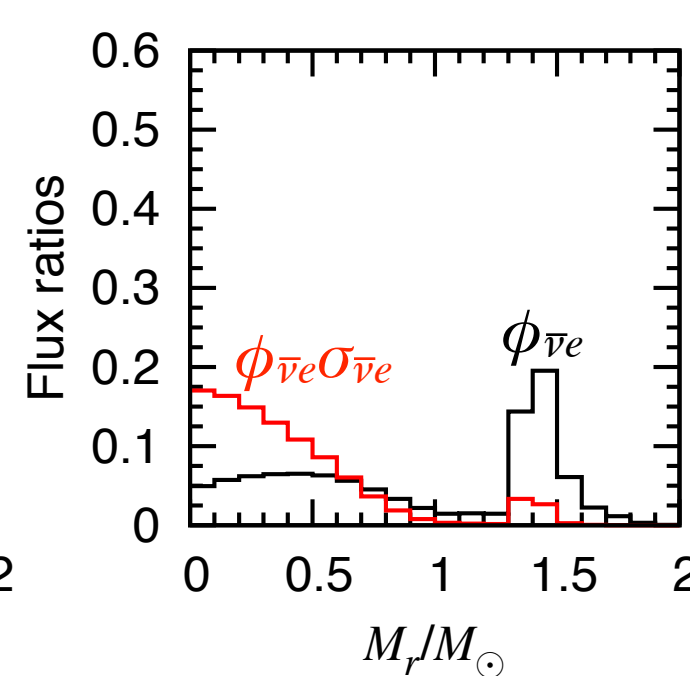
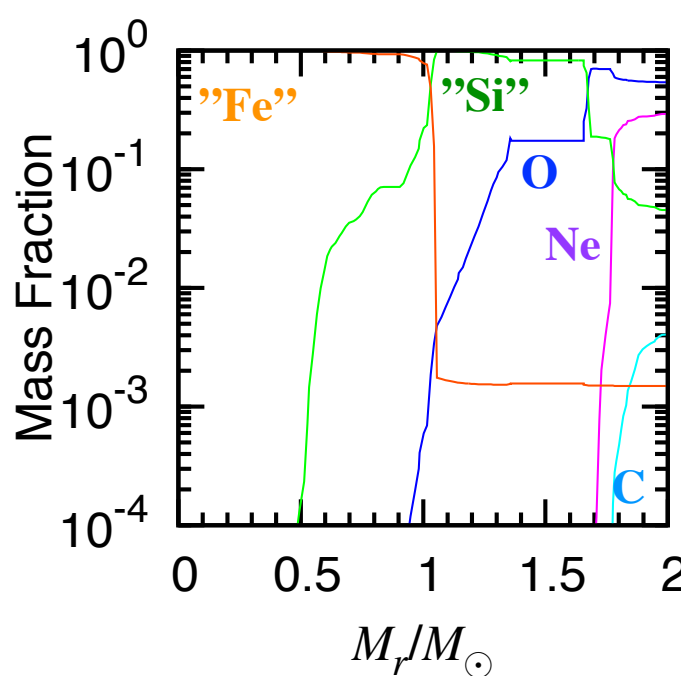
$$\log T_C = 9.70, \log \rho_C = 7.91$$



Si燃焼後のO shell燃焼におけるneutrino spectra

● $15M_{\odot}$ モデルにおけるneutrino spectra

- 左図: 質量比分布
- 中図: $\int \phi_{\bar{\nu}e}(E_{\nu}, M_r) dE_{\nu} dM_r, \int \phi_{\bar{\nu}e}(E_{\nu}, M_r) \sigma_{\bar{\nu}e}(E_{\nu}) dE_{\nu} dM_r$ の分布
- 右図: neutrino spectra
- 最終stepまで 9.78 hours (O shell 燃焼中)
 $\log T_C = 9.57, \log \rho_C = 8.24$



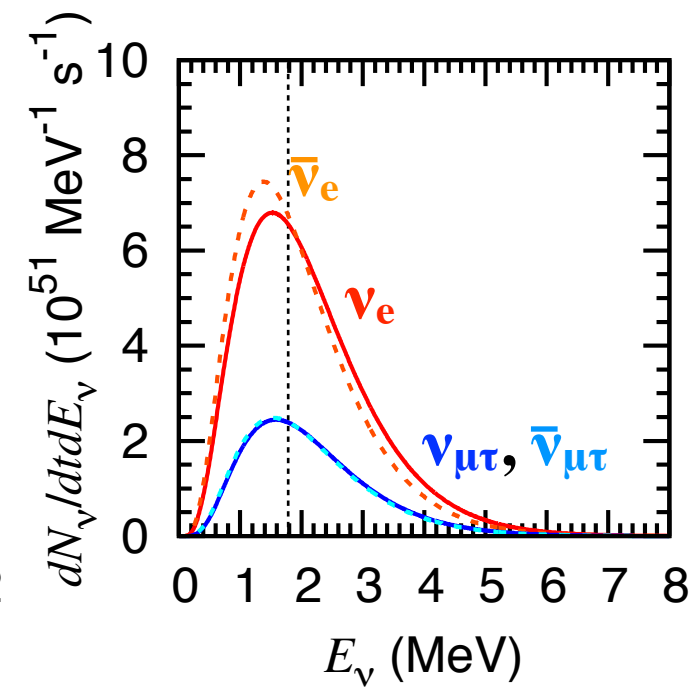
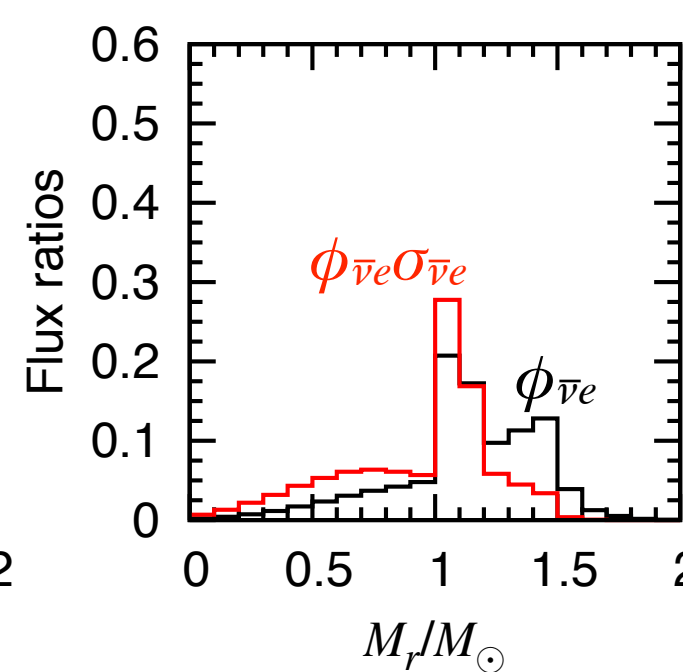
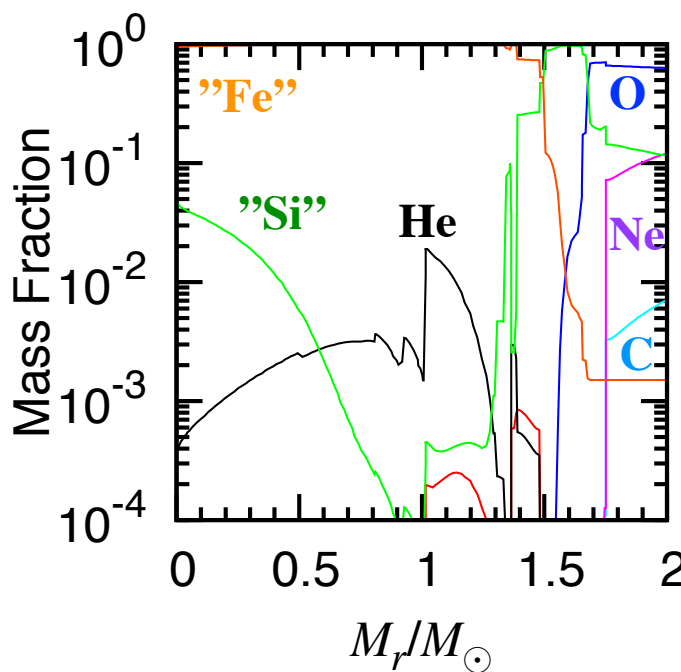
最終stepにおけるneutrino spectra

● $15M_{\odot}$ モデルにおけるneutrino spectra

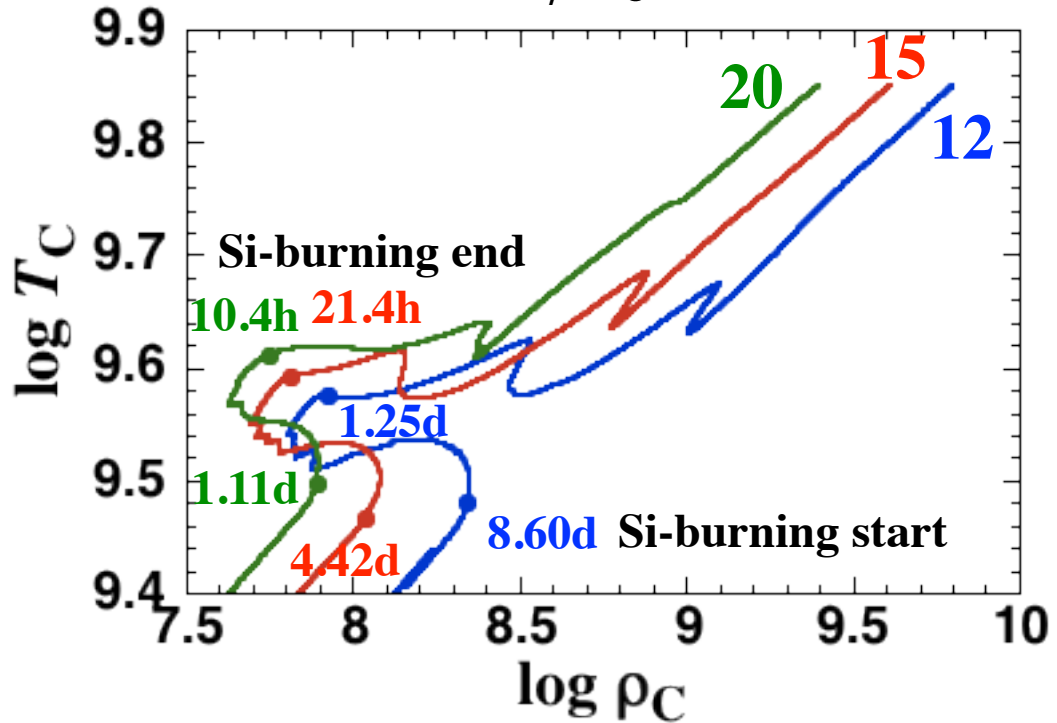
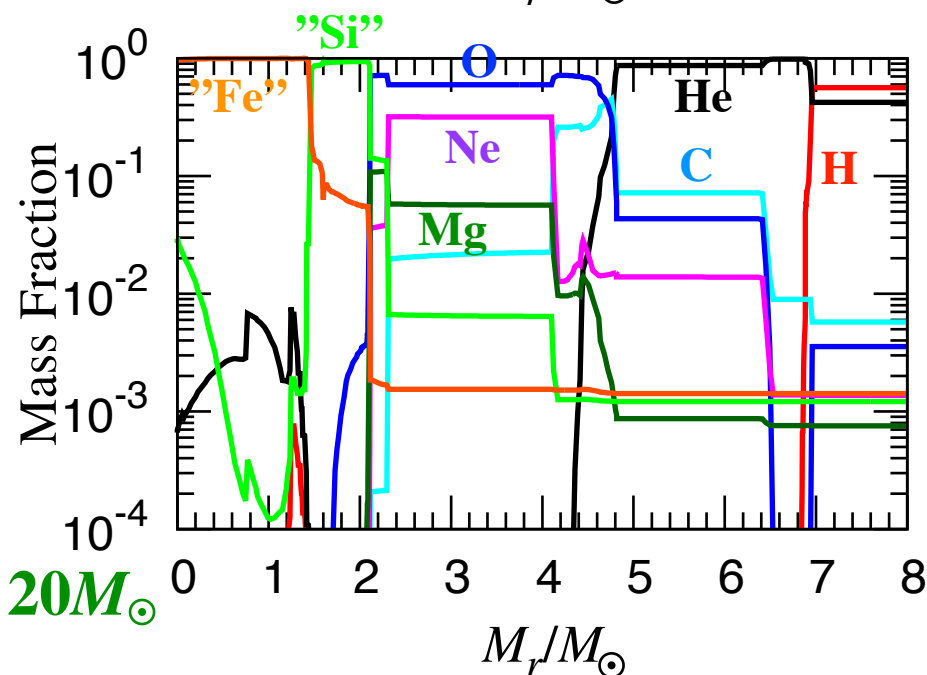
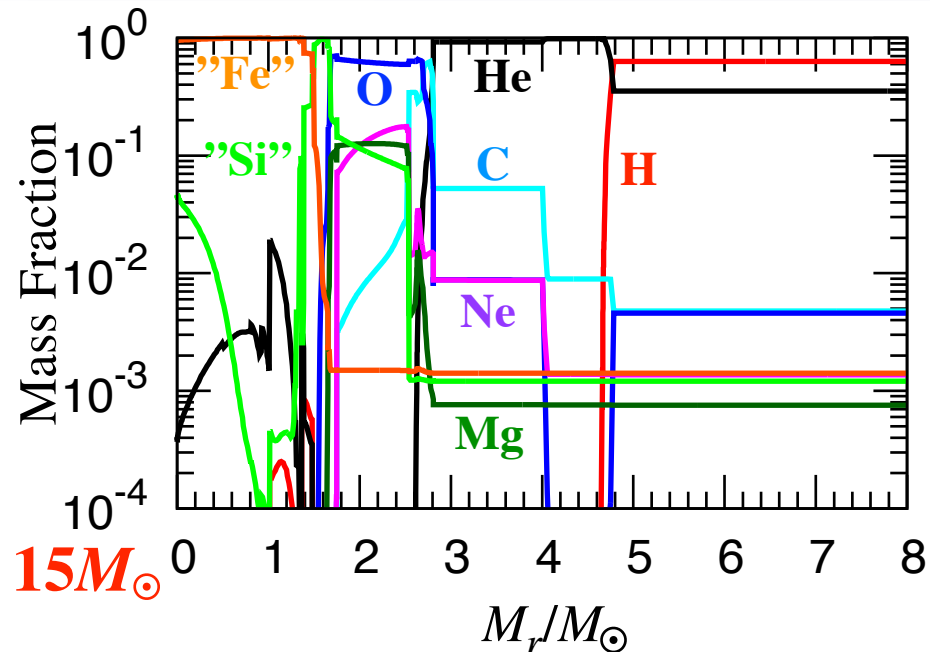
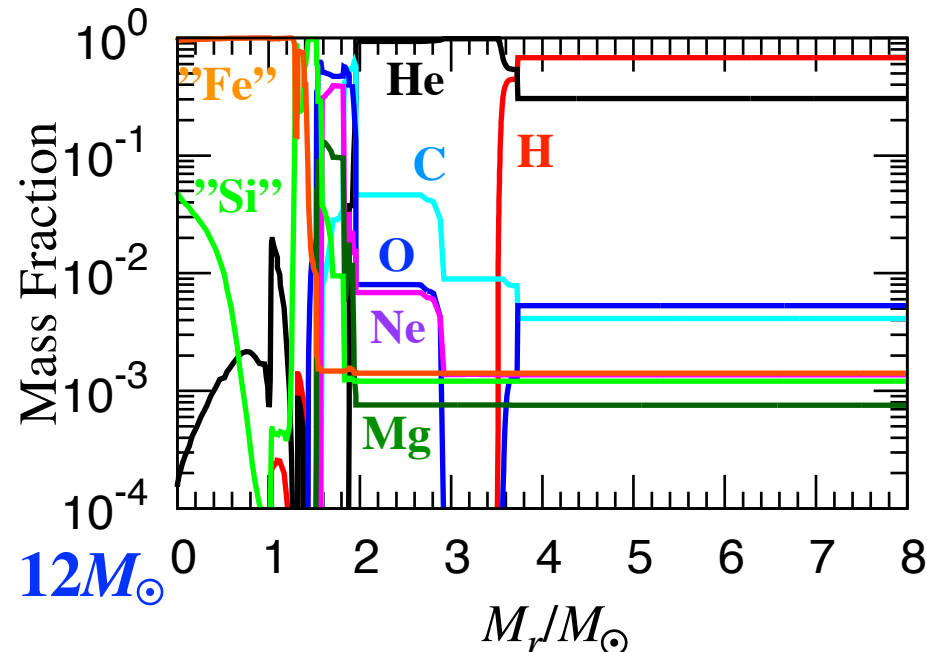
- 左図: 質量比分布
- 中図: $\int \phi_{\bar{\nu}e}(E_{\nu}, M_r) dE_{\nu} dM_r, \int \phi_{\bar{\nu}e}(E_{\nu}, M_r) \sigma_{\bar{\nu}e}(E_{\nu}) dE_{\nu} dM_r$ の分布
- 右図: neutrino spectra

● 最終step

$$\log T_C = 9.81, \log \rho_C = 9.47$$

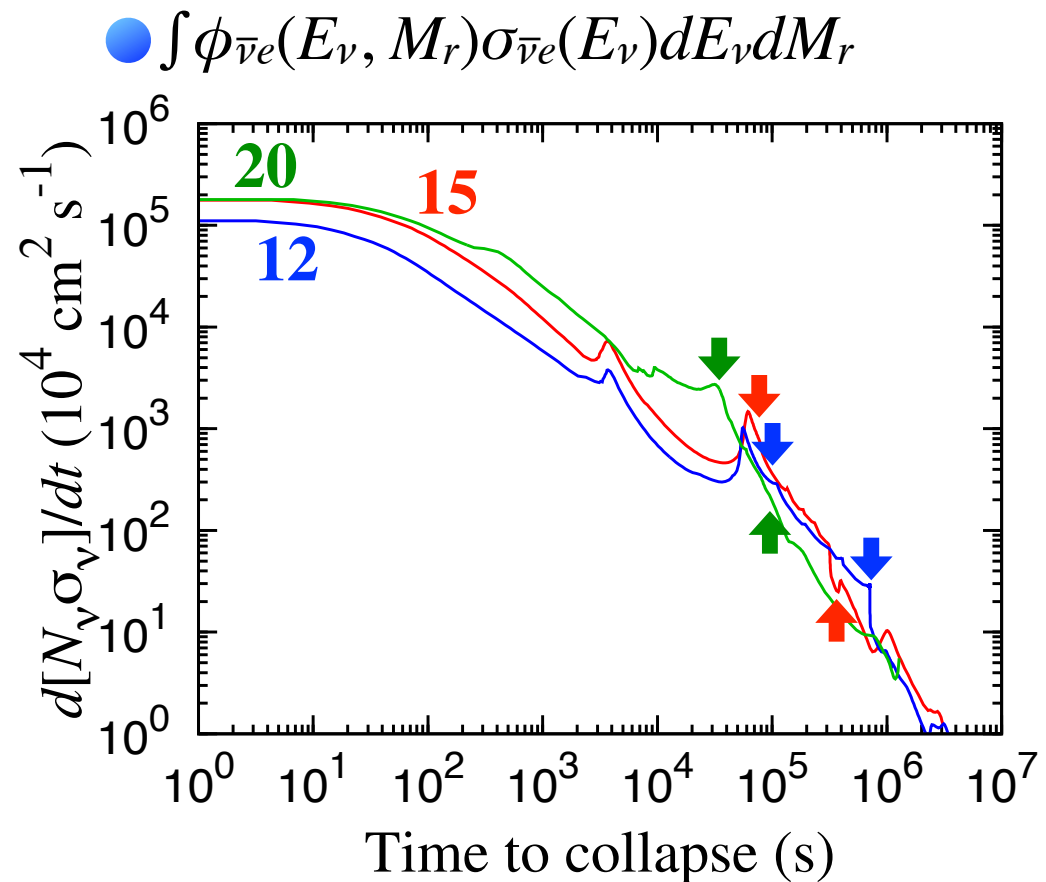
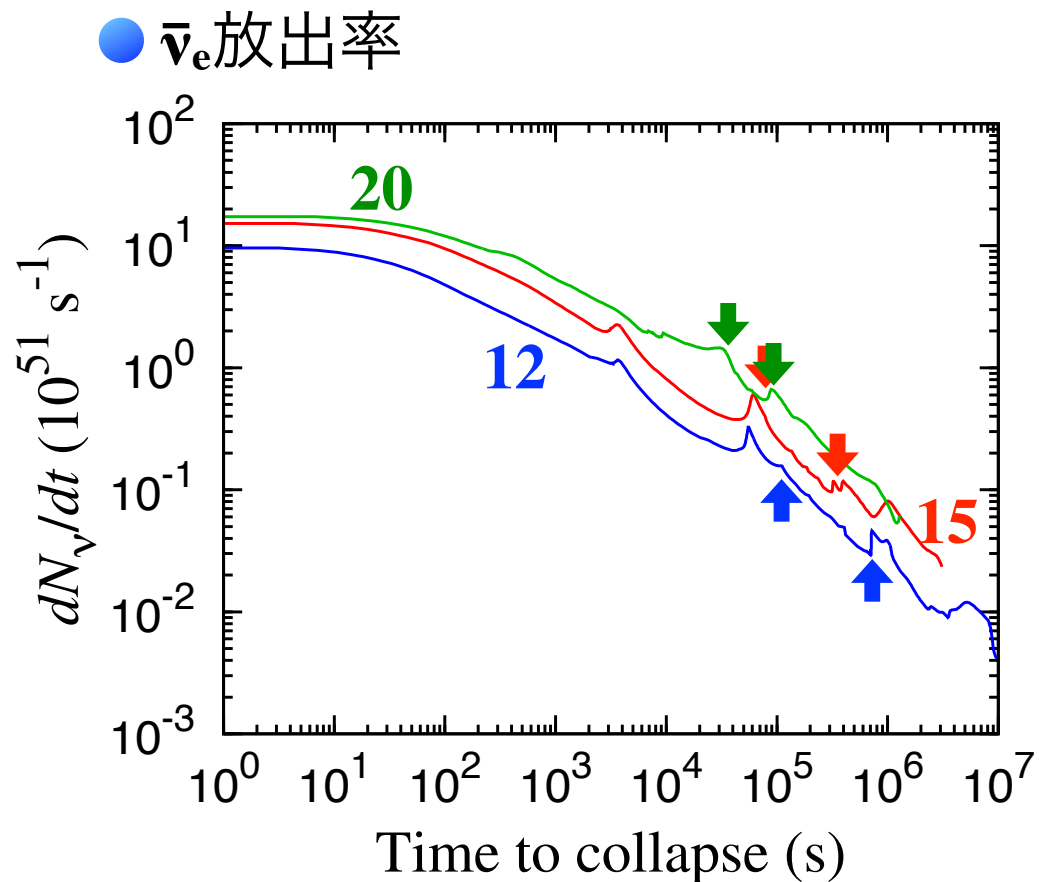


12, 15, 20 M_{\odot} モデルの後期進化



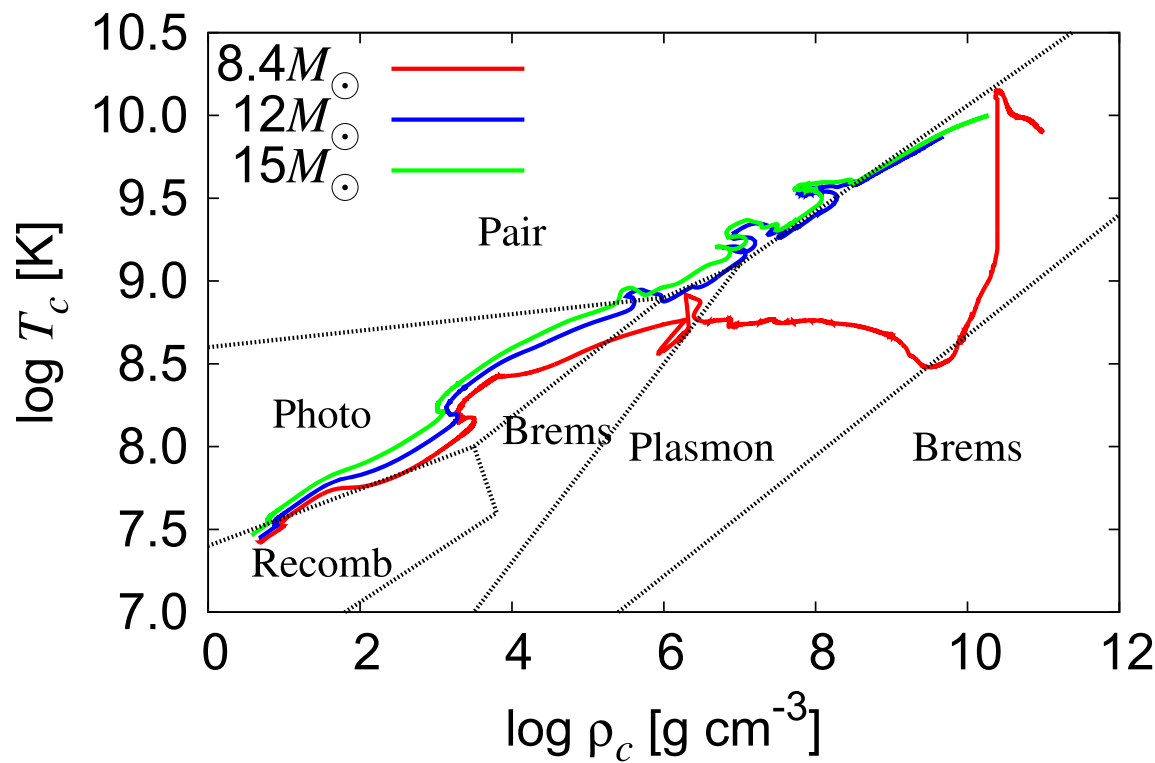
12, 15, 20 M_{\odot} モデルの後期進化とneutrino放出

M/M_{\odot}	M_f	M_{He}	M_{CO}	M_{Si}	M_{Fe}	Si-b (d)
12	10.6	3.52	1.82	1.52	1.38	8.60
15	12.3	4.66	2.74	1.65	1.50	4.42
20	14.3	6.86	4.64	2.11	1.44	1.11



Electron capture SN progenitorからのneutrino

- Electron capture (EC) SN progenitorからのneutrino放出
→ 主に plasma neutrinoによって放出
(Kato et al. 2015; ApJ 808, 168)

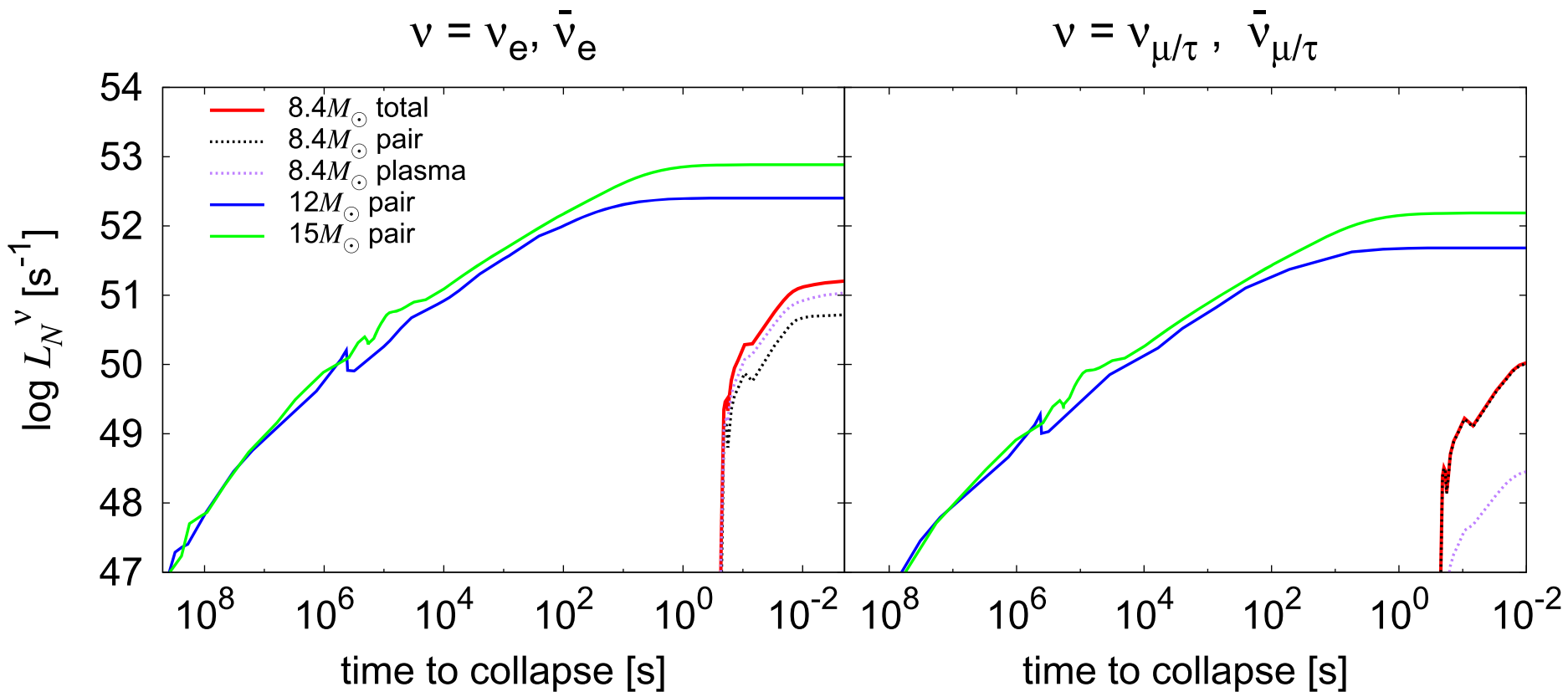


$8.4 M_{\odot}$: ECSN

$12, 15 M_{\odot}$: 重力崩壊型SN

Electron capture SN progenitorからのneutrino

- Electron capture (EC) SN progenitorからのneutrino放出
→ 主に plasma neutrinoによって放出 (Kato et al. 2015; ApJ 808, 168)



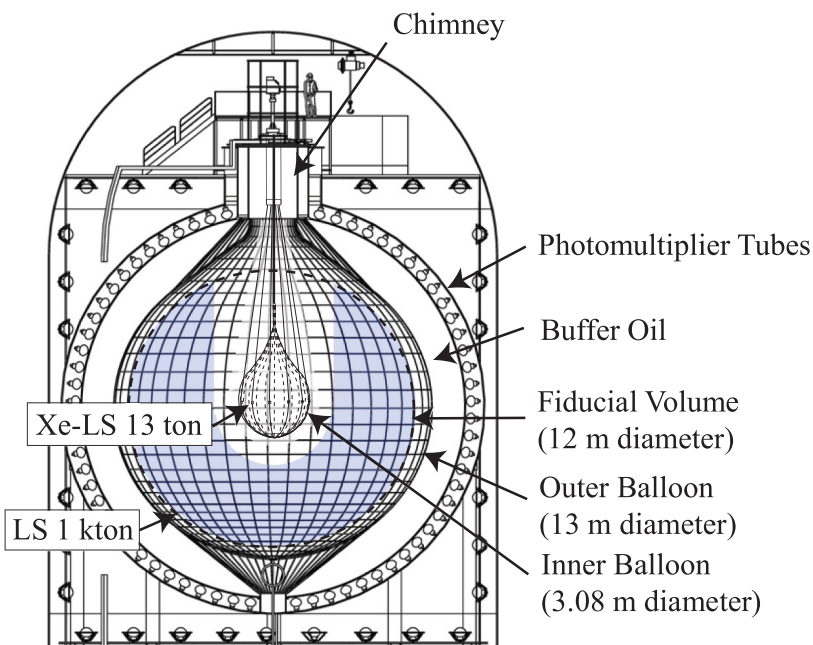
- ECSN progenitorからのneutrino放出量は非常に少ない
KamLANDでは ~ 0.0015 events

KamLANDによる超新星前兆neutrino観測

- $p + \bar{\nu}_e \rightarrow n + e^+$
 $n + p \rightarrow d + \gamma$ (2.2 MeV: tagging)

- $\bar{\nu}_e$ event rate

$$\frac{dN_\nu}{dt} = \frac{N_p}{4\pi d^2} \int \{P_{ee} \lambda_{\nu e}(E_\nu) + (1-P_{ee}) \lambda_{\nu x}(E_\nu)\} \sigma(E_\nu) dE_\nu$$



(Gando et al. 2013)

$$N_p = 5.98 \times 10^{31} \text{ (Gando et al. 2013)}$$

$d = 200$ pc : distance to Betelgeuse

P_{ee} : Transition probability of $\bar{\nu}_e \rightarrow \bar{\nu}_e$

$P_{ee} = 1$ for no mixing

$P_{ee} = 0.68$ for normal

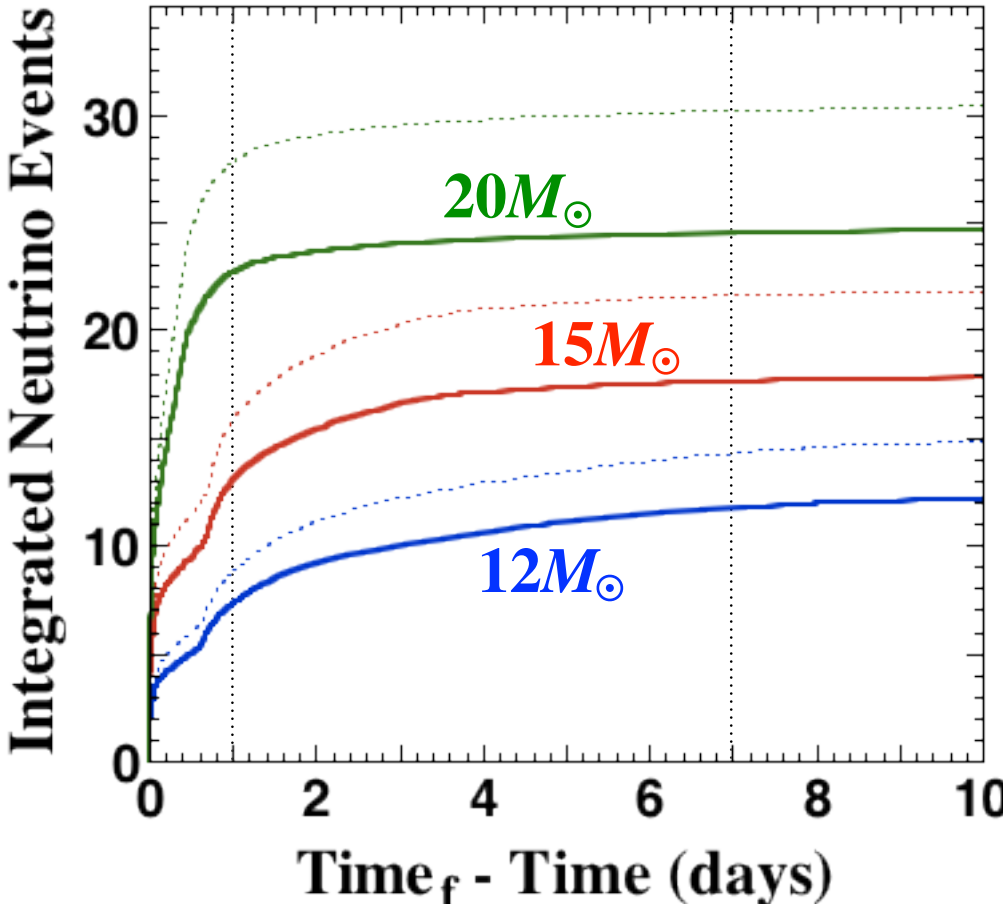
$P_{ee} = 0.02$ inverted

$\sigma(E_\nu)$: neutrino reaction cross section
(Strumia & Vissani 2003)

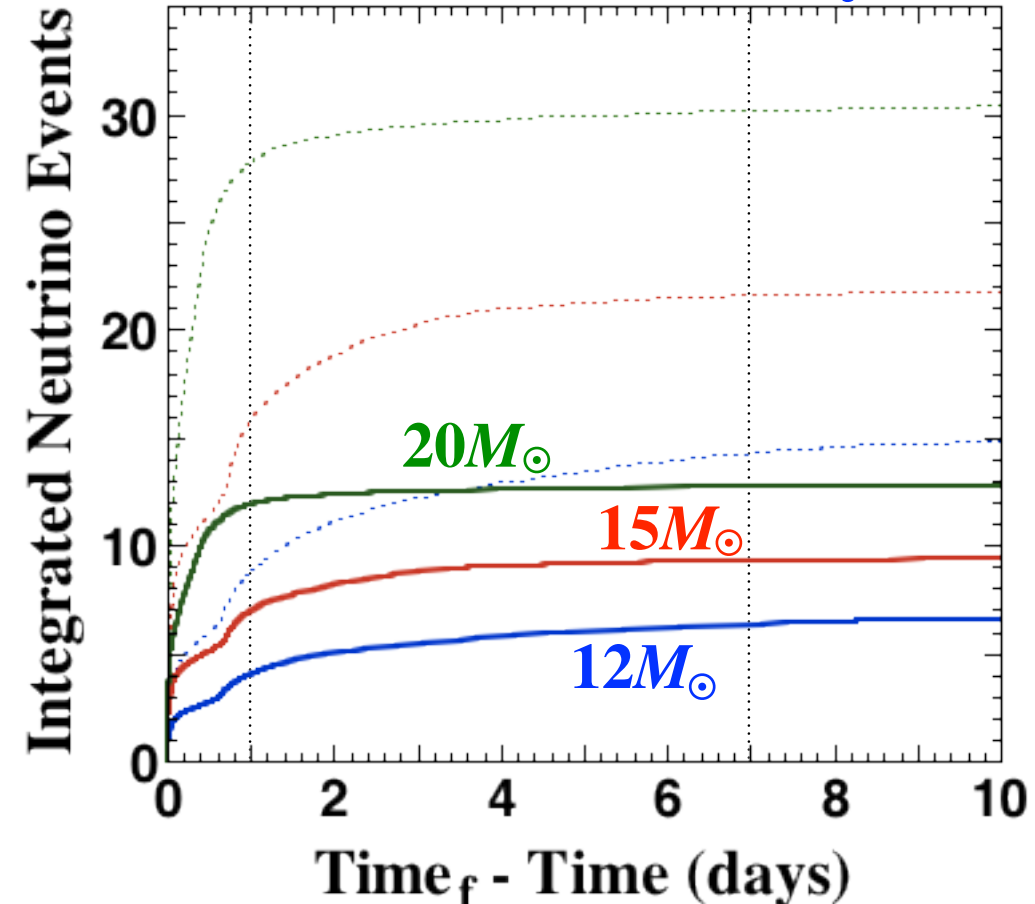
前兆neutrino event数の予測

- 前兆neutrino@ $d = 200\text{pc}$ (ベテルギウスの距離)
KamLANDによる検出 $p + \bar{\nu}_e \rightarrow n + e^+$

Normal mass hierarchy



Inverted mass hierarchy



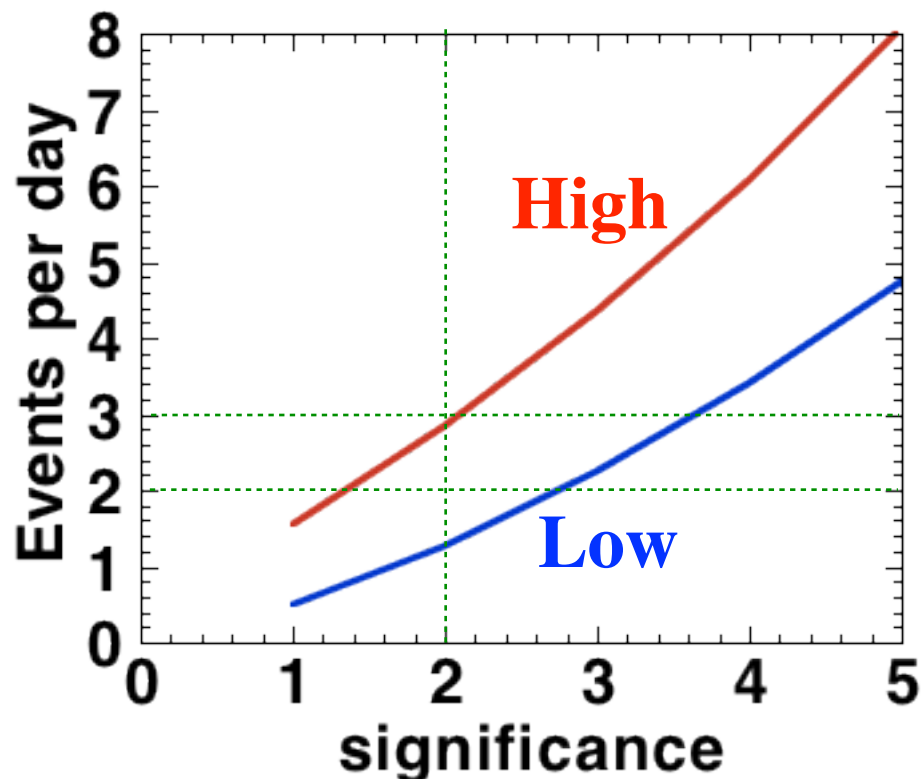
- 一週間でのNeutrino events
 $\sim 12, 18, 24$ (normal), $\sim 6, 9, 13$ (inverted)

KamLANDによる超新星alert

- KamLANDによる通常の**neutrino event**数

→ 7.1×10^{-2} events/day (low)
0.355 events/day (high)

(Asakura et al. 2015)



- Low background

→ 一日に 2 event あれば
2 σ 以上の事象になりうる

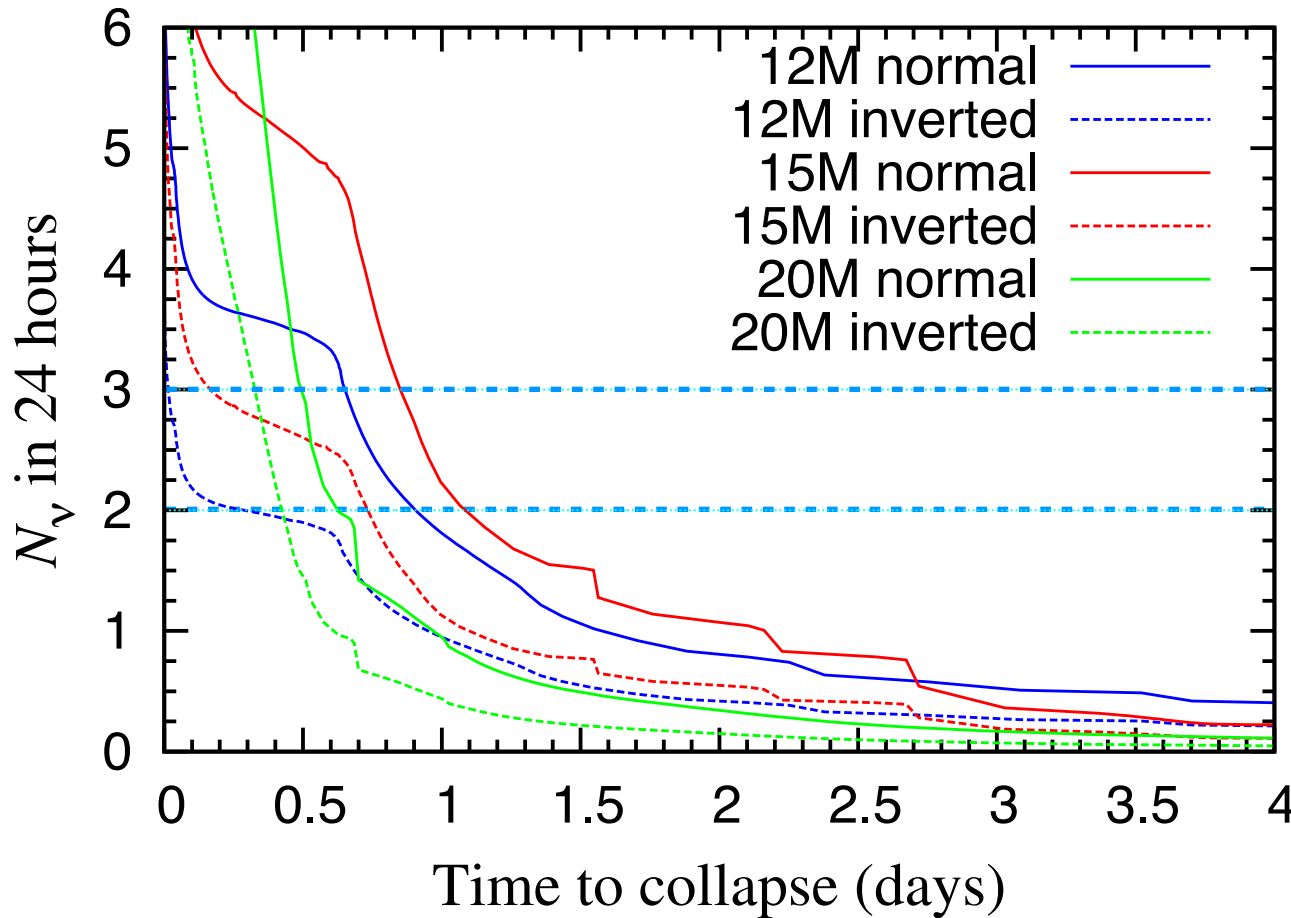
- High background

→ 一日に 3 event あれば
2 σ 以上の事象になりうる

本田さんポスター

KamLANDによる超新星alert

- KamLANDによる24時間での超新星前兆neutrino events
SN@200pc



- low background では爆発前日-半日前にalert可能

JUNOとRENO-50

- JUNO(中国,EU), RENO-50(韓国)

→ ~20kt sizeのliquid scintillation neutrino観測装置

- JUNOのbackground (An et al. 2015; arXiv:1507.05613)

Selection	IBD efficiency	IBD	Geo- ν s	Accidental	${}^9\text{Li}/{}^8\text{He}$	Fast n	(α, n)			
-	-	83	1.5	$\sim 5.7 \times 10^4$	84	-	-			
Fiducial volume	91.8%	76	1.4	410	77	0.1	0.05			
Energy cut	97.8%	73	1.3							
Time cut	99.1%		71							
Vertex cut	98.7%		1.1							
Muon veto	83%	60	1.1	0.9	1.6					
Combined	73%	60			3.8					

Table 2-1: The efficiencies of antineutrino selection cuts, signal and backgrounds rates.

→ High: 60 events/day; Low: 3.8 events/day

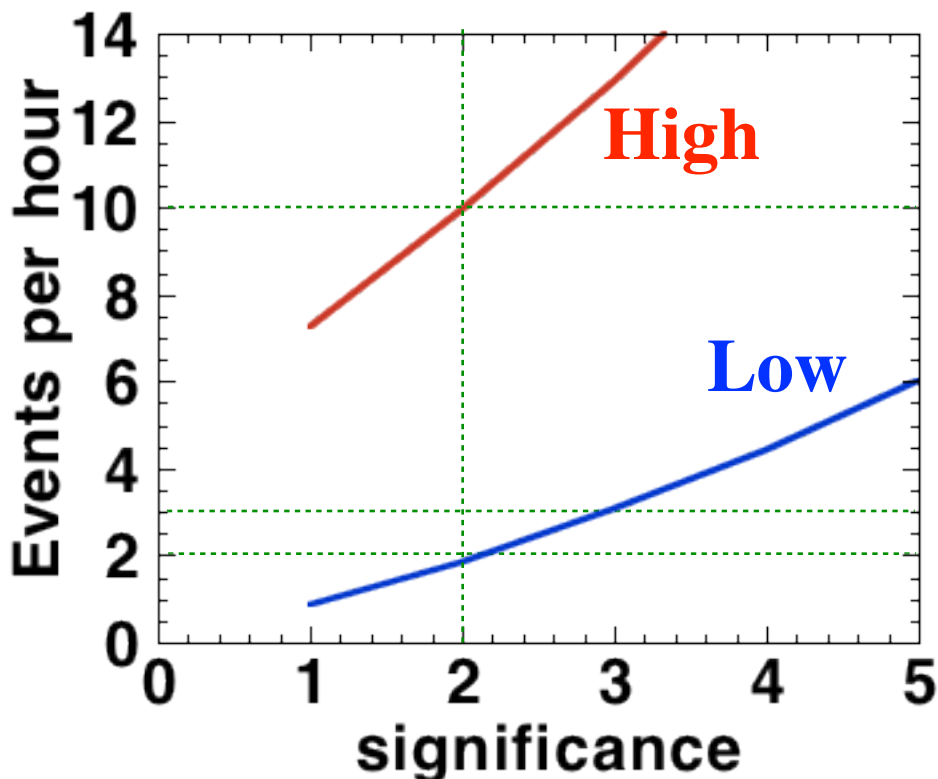
→ High: 2.5 events/hour; Low: 0.16 events/hour

JUNOによる超新星前兆neutrino alert

- JUNOによるneutrino event数 (An et al. 2015)

→ 0.158 events/hour (low)

2.5 events/hour (high: 原子炉実験中)



- Low background

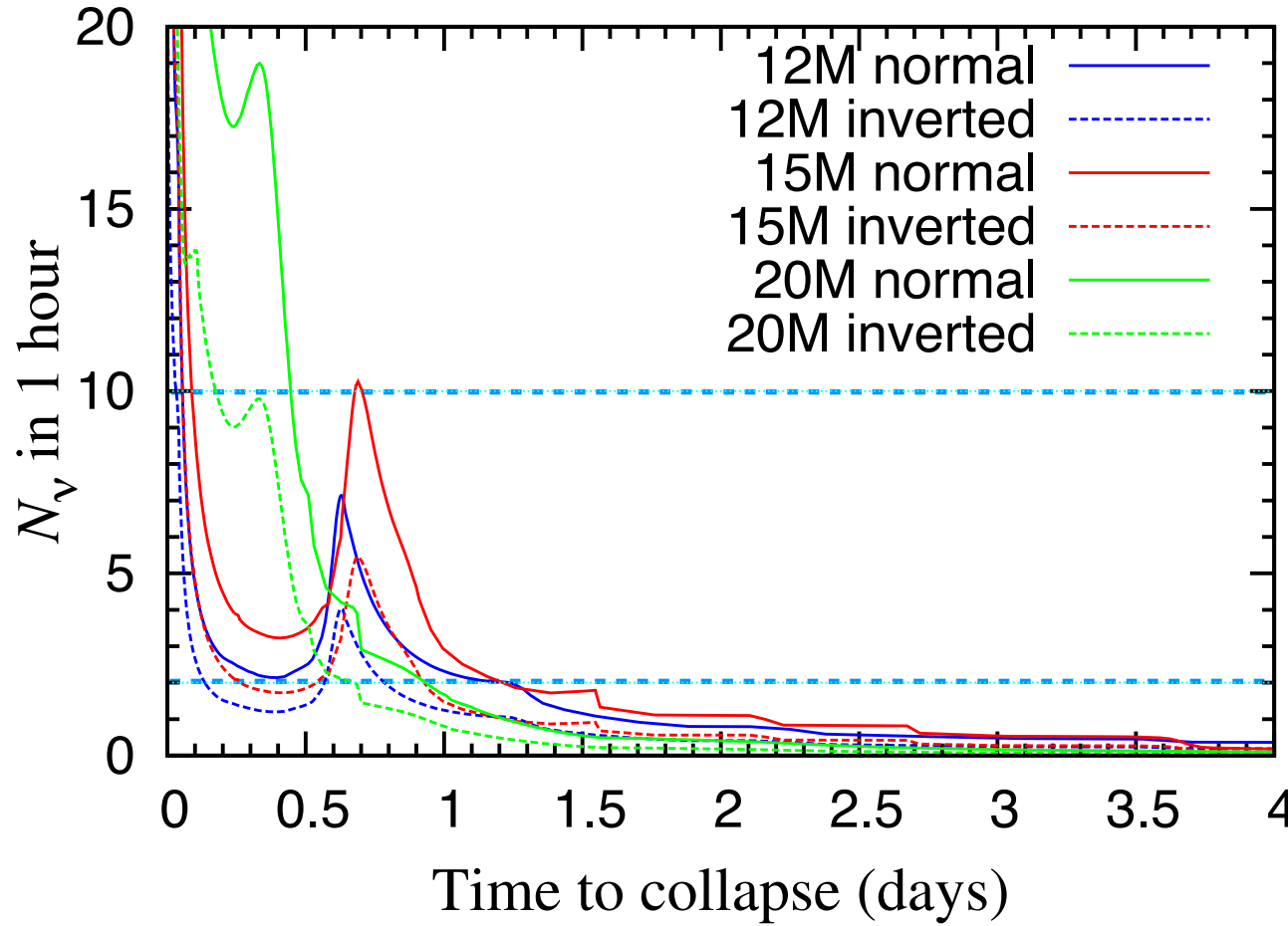
→ 一時間に 2 event あれば 2σ 以上の事象になりうる

- High background

→ 2σ 以上の事象になるには
一時間に 10 event 必要

JUNOによる超新星前兆neutrino alert

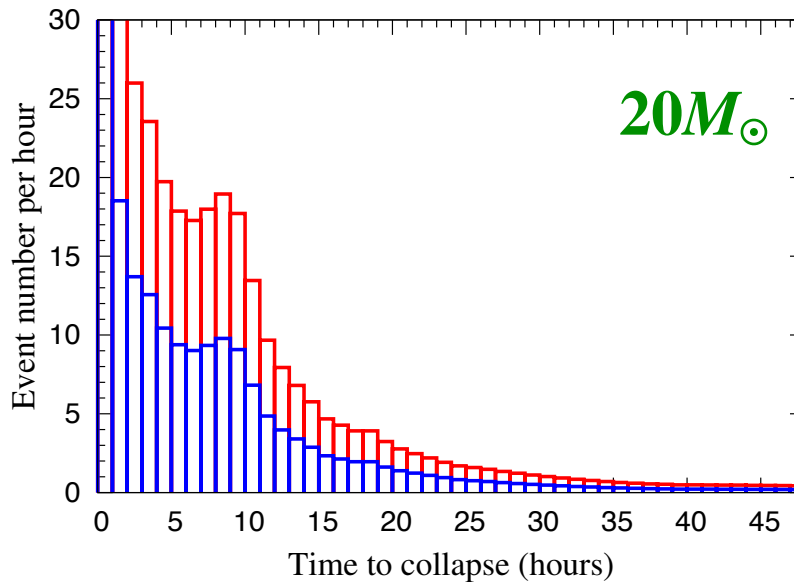
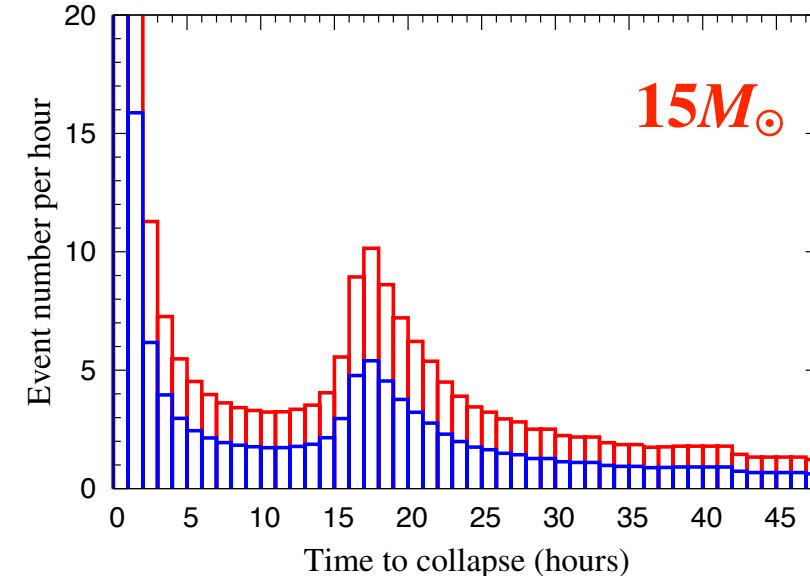
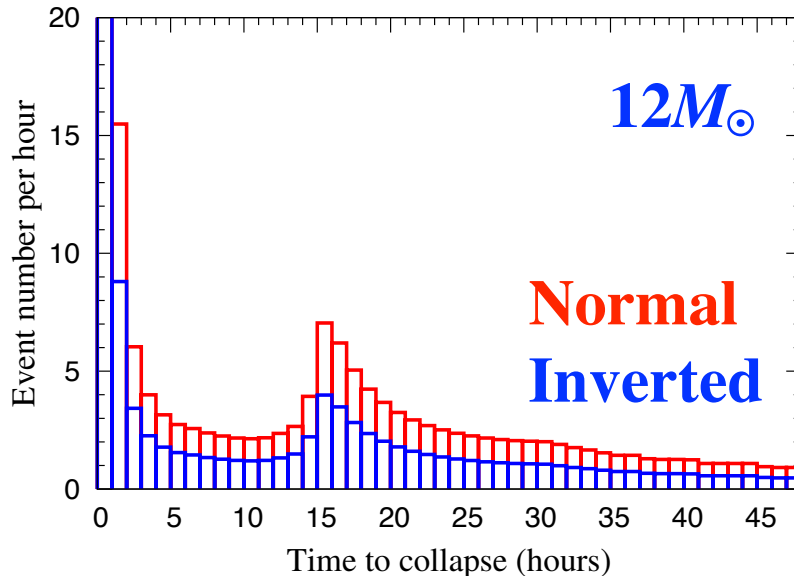
- JUNOによる1時間での超新星前兆neutrino events
SN@200pc



- low background では alert は KamLAND とほぼ同時
- 原子炉実験中のalertは難しいかもしれない

超新星前兆neutrinoから最終進化を探る

- JUNOによる1時間での超新星前兆neutrino events
SN@200pc



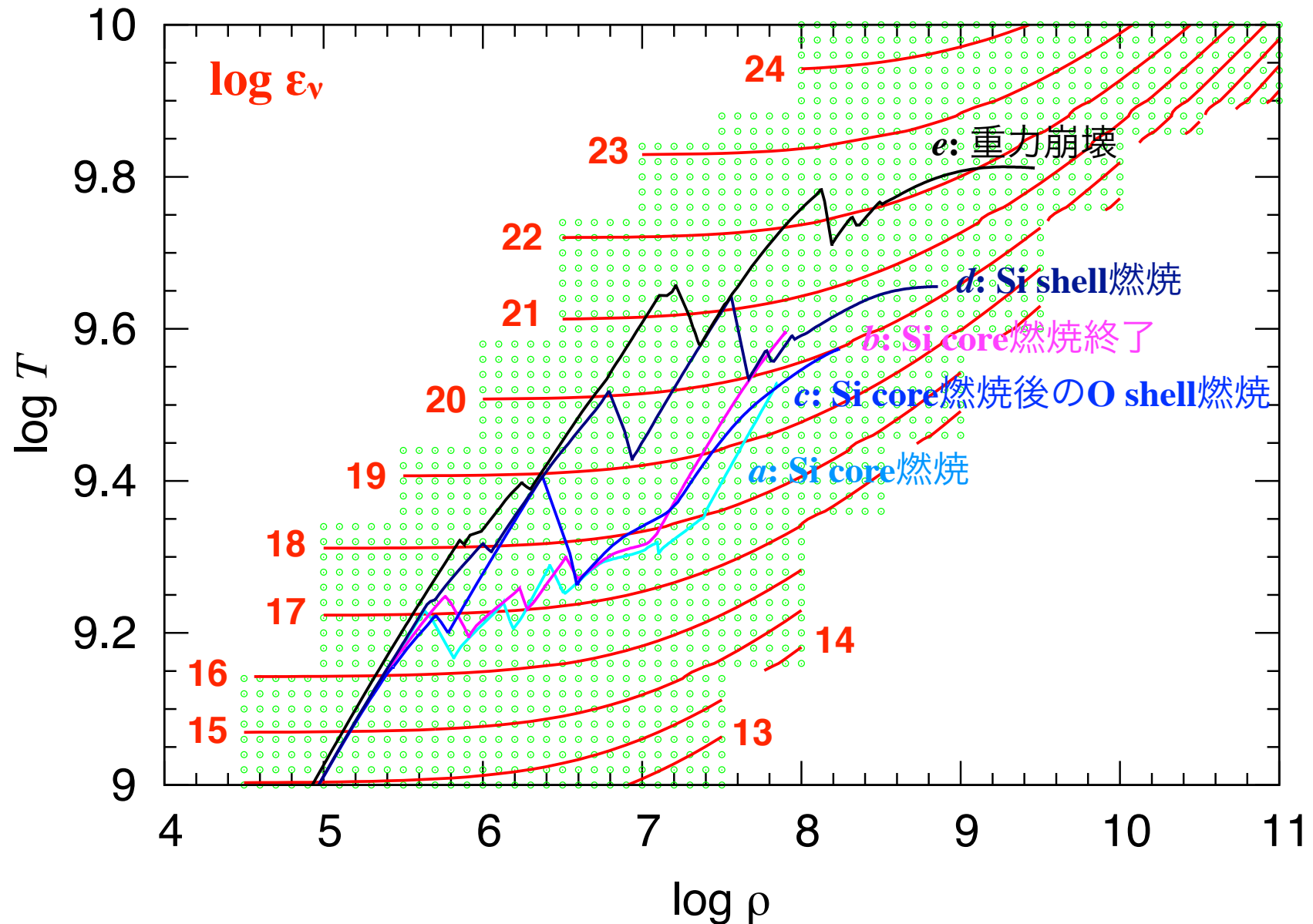
- 15 - 20時間前
neutrino eventの減少
Si燃焼 → O shell燃焼の移行

まとめ

- 大質量星のSi燃焼以降におけるニュートリノ放出
- $15 M_{\odot}$ model
 - neutrino放出率, スペクトルの時間変化
→ 星の構造, 燃焼過程の変化を反映
- 星の質量の違い
→ neutrino event数, time scaleに依存性
- KamLANDによる超新星alert
→ 超新星爆発の半日 - 一日前にalert可能
- 大質量星の最終進化を探る
→ $\gtrsim 10 \text{ events/hour}$ 程度の観測で燃焼過程の変化を観測的に示せる可能性

pair neutrinoによるエネルギー放出率

- 単位体積当たりのエネルギー放出率 (erg/cm³/s)



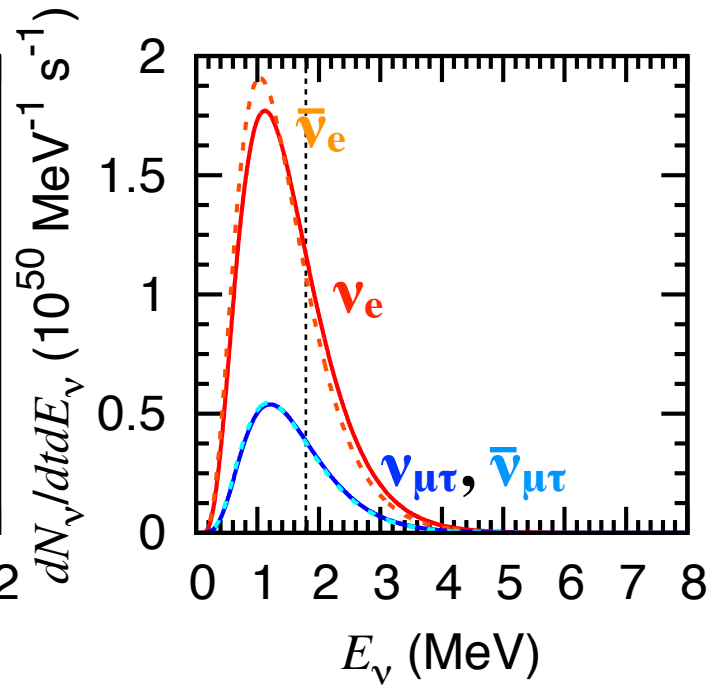
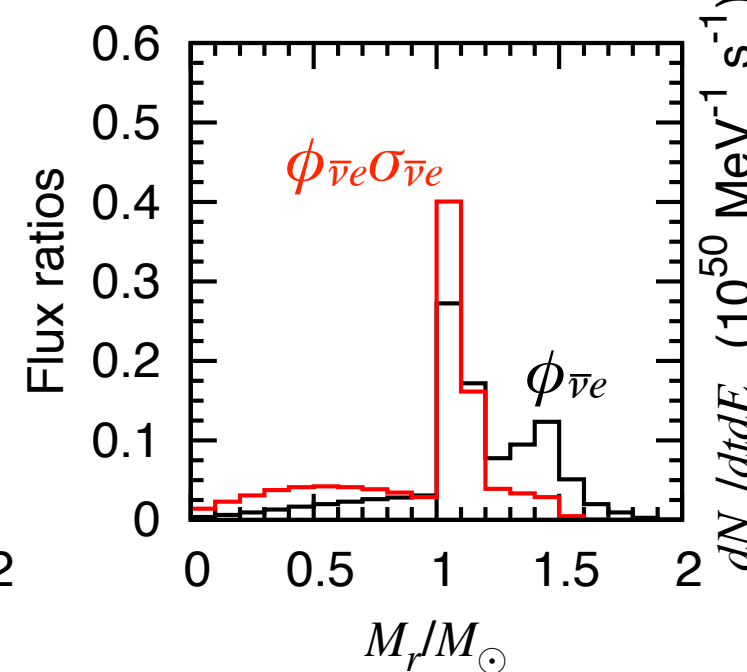
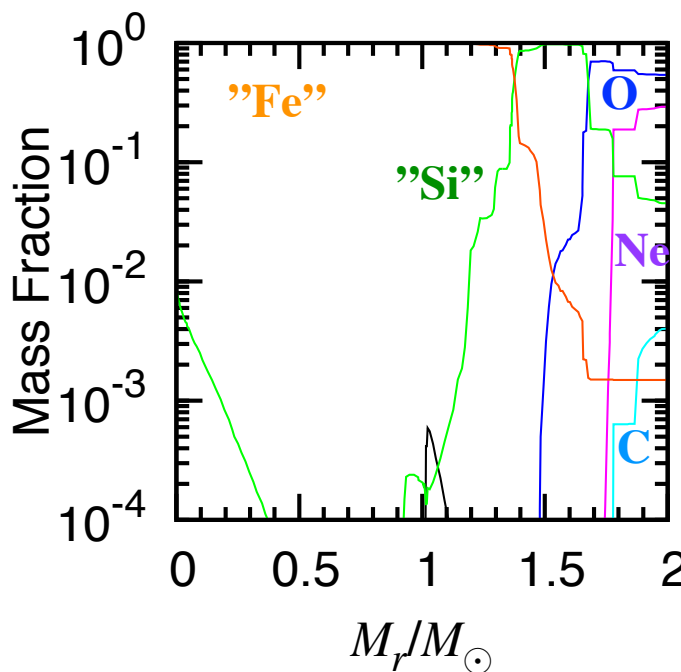
Si燃焼後のO shell燃焼におけるneutrino spectra

● $15M_{\odot}$ モデルにおけるneutrino spectra

- 左図: 質量比分布
- 中図: $\int \phi_{\bar{\nu}e}(E_{\nu}, M_r) dE_{\nu} dM_r, \int \phi_{\bar{\nu}e}(E_{\nu}, M_r) \sigma_{\bar{\nu}e}(E_{\nu}) dE_{\nu} dM_r$ の分布
- 右図: neutrino spectra

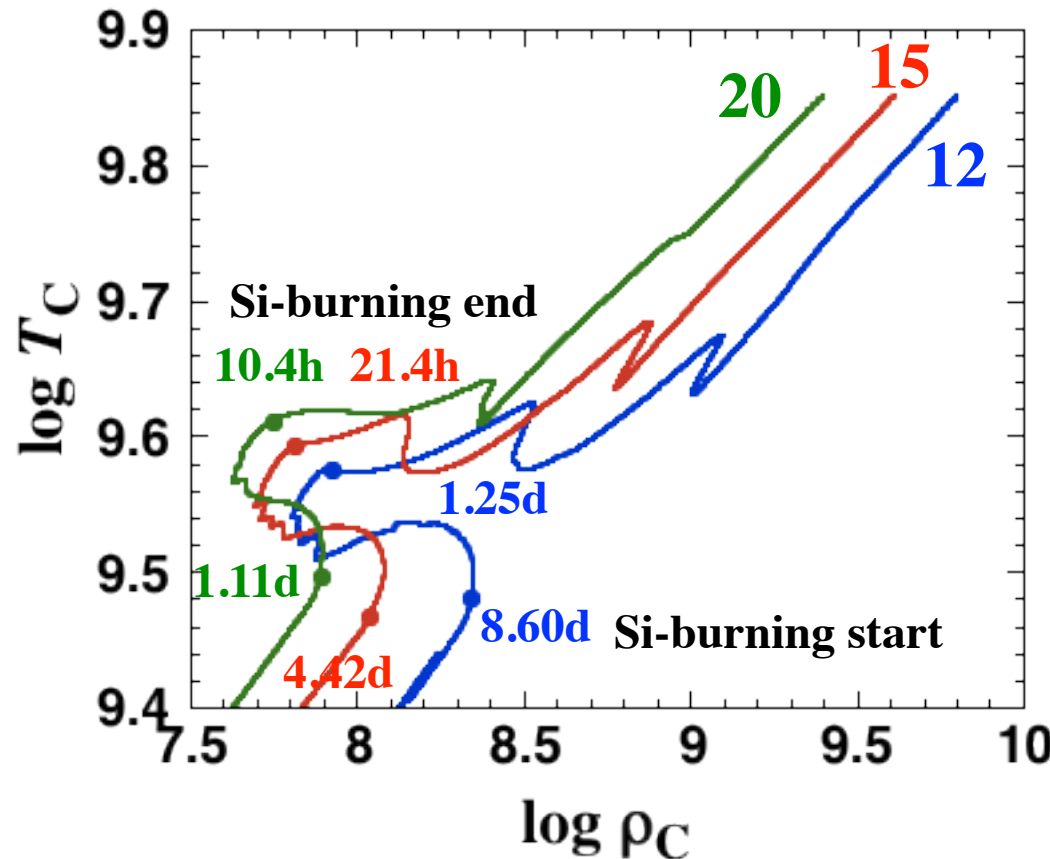
● 最終stepまで 23.8 minutes

$$\log T_C = 9.66, \log \rho_C = 8.86$$



$12, 15, 20M_{\odot}$ モデルの後期進化

M/M_{\odot}	M_f	M_{He}	M_{CO}	M_{Si}	M_{Fe}	Si-b (d)
12	10.6	3.52	1.82	1.52	1.38	8.60
15	12.3	4.66	2.74	1.65	1.50	4.42
20	14.3	6.86	4.64	2.11	1.44	1.11



JUNOとRENO-50

- JUNO(中国,EU), RENO-50(韓国)
→ ~20kt sizeのシンチレーション型neutrino観測装置
- 原子炉ニュートリノによるニュートリノ振動パラメータの解明
- 低threshold
→ 超新星前兆ニュートリノの観測も可能
- JUNOのbackground

Selection	IBD efficiency	IBD	Geo- ν s	Accidental	${}^9\text{Li}/{}^8\text{He}$	Fast n	(α, n)
-	-	83	1.5	$\sim 5.7 \times 10^4$	84	-	-
Fiducial volume	91.8%	76	1.4		77	0.1	0.05
Energy cut	97.8%			410			
Time cut	99.1%	73	1.3		71		
Vertex cut	98.7%			1.1			
Muon veto	83%	60	1.1	0.9	1.6		
Combined	73%	60			3.8		

Table 2-1: The efficiencies of antineutrino selection cuts, signal and backgrounds rates.

大質量星モデルの違い

新しい大質量星モデル

- 対流領域の扱い
- Schwarzschild条件

断熱温度勾配 < 放射温度勾配 \rightarrow 対流

- Ledoux条件 \rightarrow 組成分布の違いも考慮

- 対流層境界

対流層の境界で流体速度 $\neq 0$

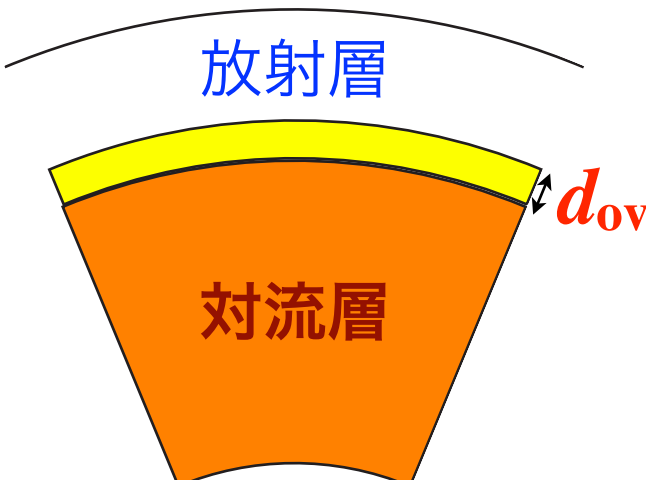
\rightarrow overshooting (He燃焼まで)

領域の広さ: $d_{ov} = \alpha_{ov} H_p$

α_{ov} : パラメータ

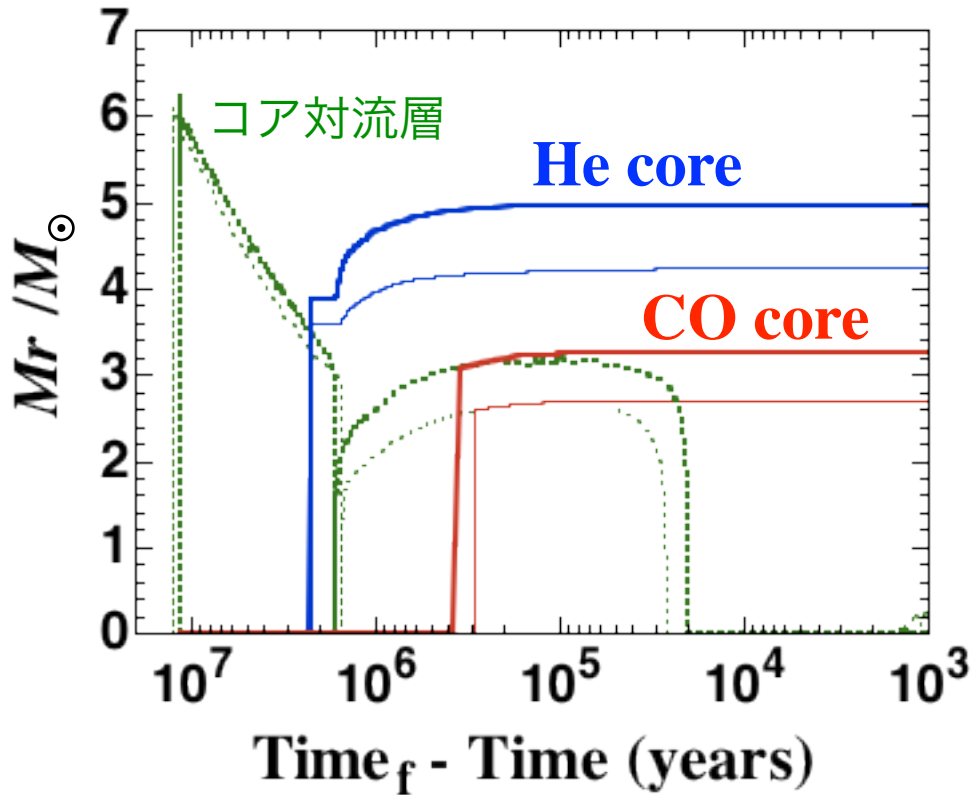
- 大きなovershooting

\rightarrow 大きなCOコア



大質量星モデルの違い

● 対流領域とHe, COコアの時間進化

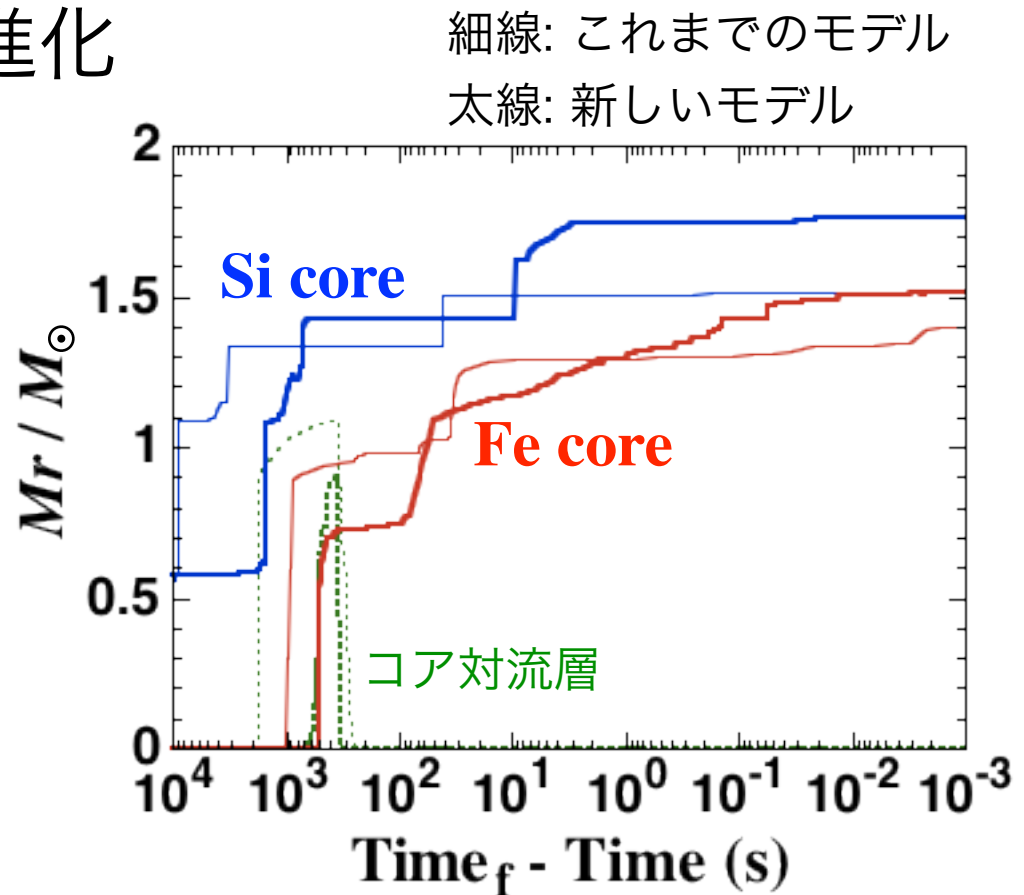
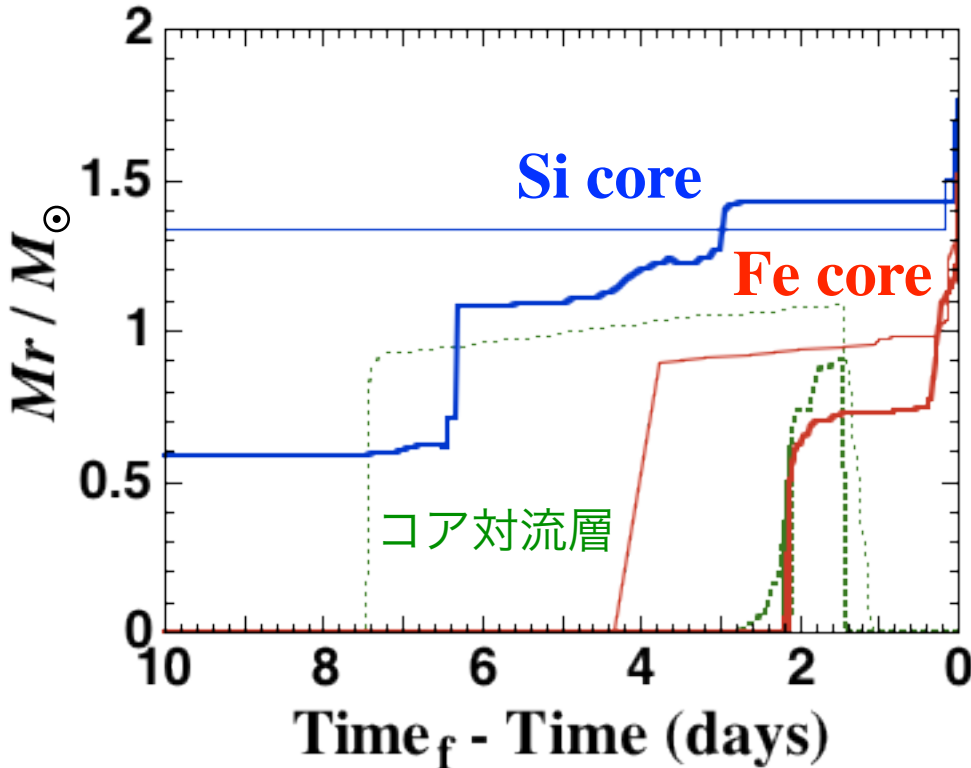


細線: これまでのモデル
太線: 新しいモデル

- これまでのモデル
Schwarzschild対流条件
 $\alpha_{ov} = 0.005$
- 新しいモデル
Ledoux対流条件
 $\alpha_{ov} = 0.005$
→ 大きなHe, COコア
強いovershootingの影響

大質量星モデルの違い

● 対流領域とFeコアの時間進化



● 新しい(これまでの)モデル

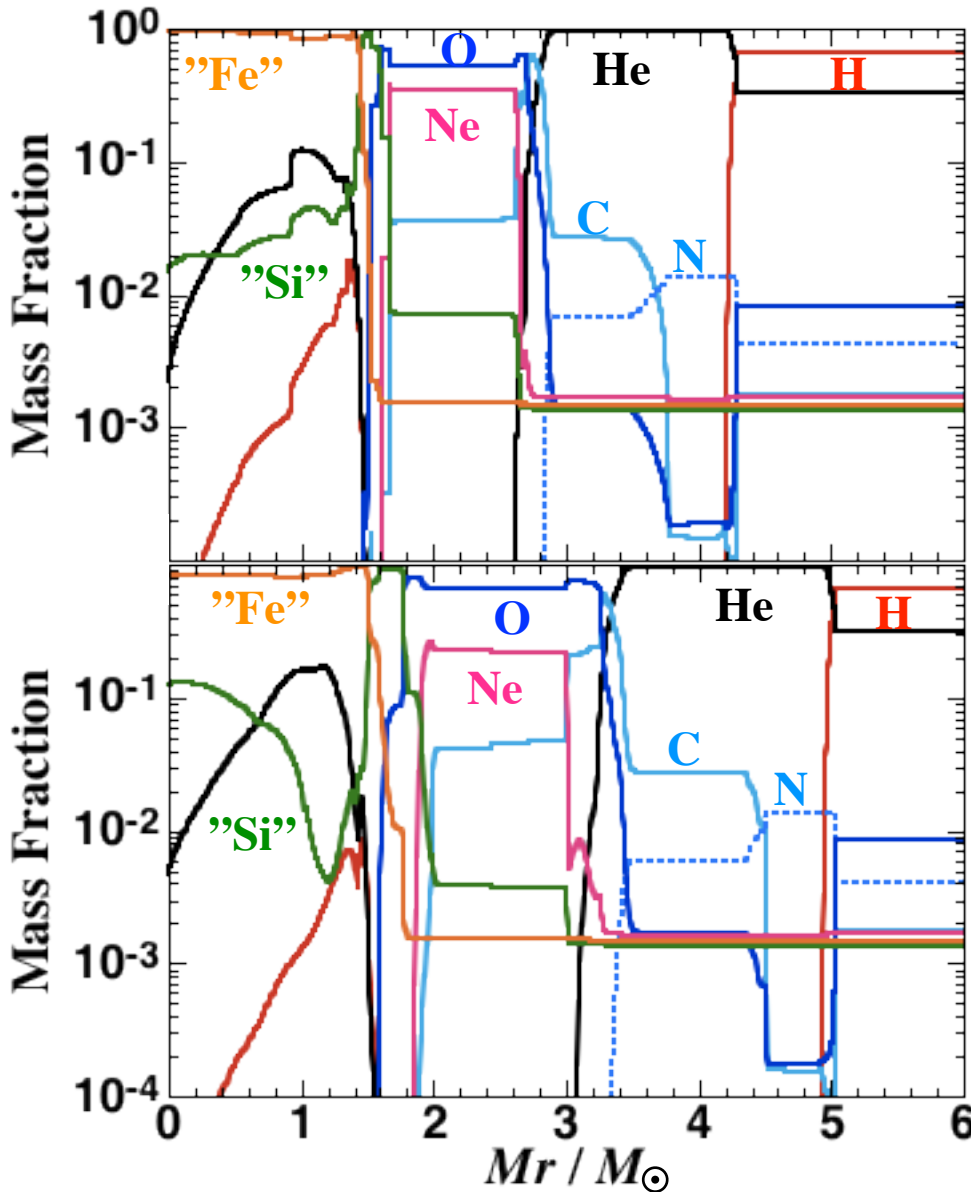
● Si燃焼期間 \rightarrow ~ 2 日 (~ 7 日)

大きなCOコア \rightarrow 短時間での収縮

Ledoux条件 \rightarrow 対流はこれまでよりも弱い

大質量星モデルの違い

- $15M_{\odot}$ モデルの最終的な組成分布の違い



これまでのモデル

$$M_f = 13.3 M_{\odot}$$

$$M_{\text{CO}} = 2.81 M_{\odot}$$

$$M_{\text{Fe}} = 1.45 M_{\odot}$$

新しいモデル

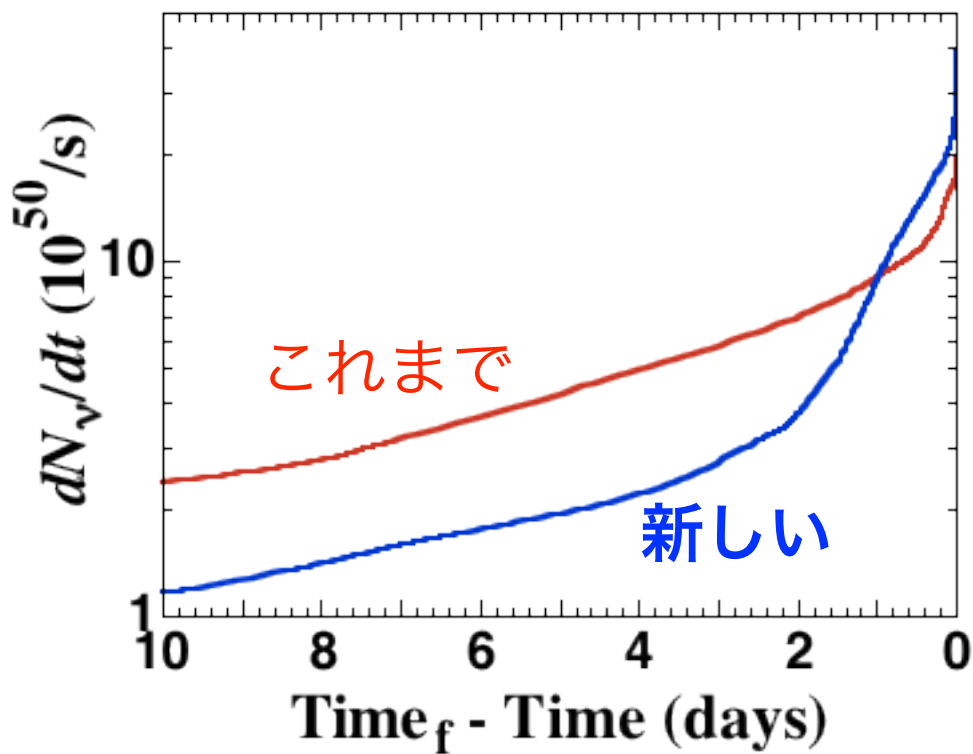
$$M_f = 14.0 M_{\odot}$$

$$M_{\text{CO}} = 3.35 M_{\odot}$$

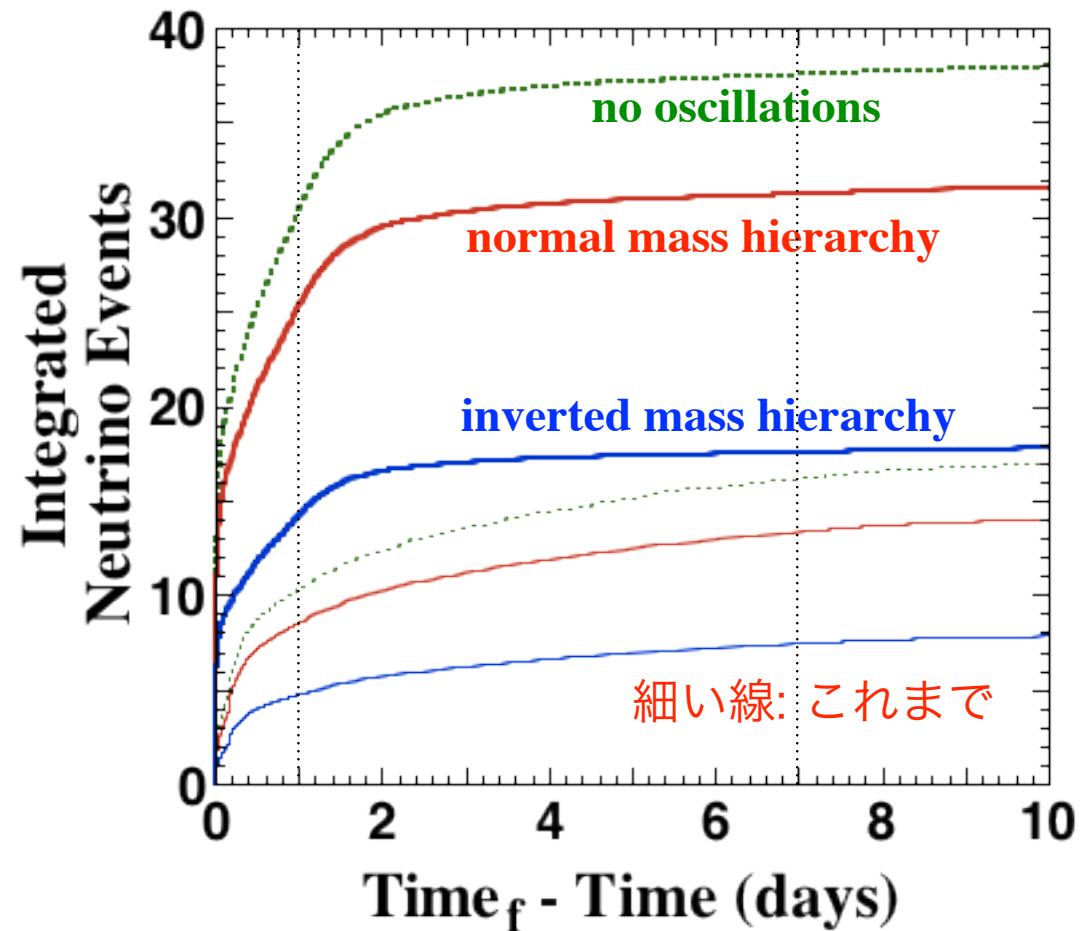
$$M_{\text{Fe}} = 1.51 M_{\odot}$$

ニュートリノ生成率とevent数

- 電子反ニュートリノ生成率



- KamLANDでのevent数

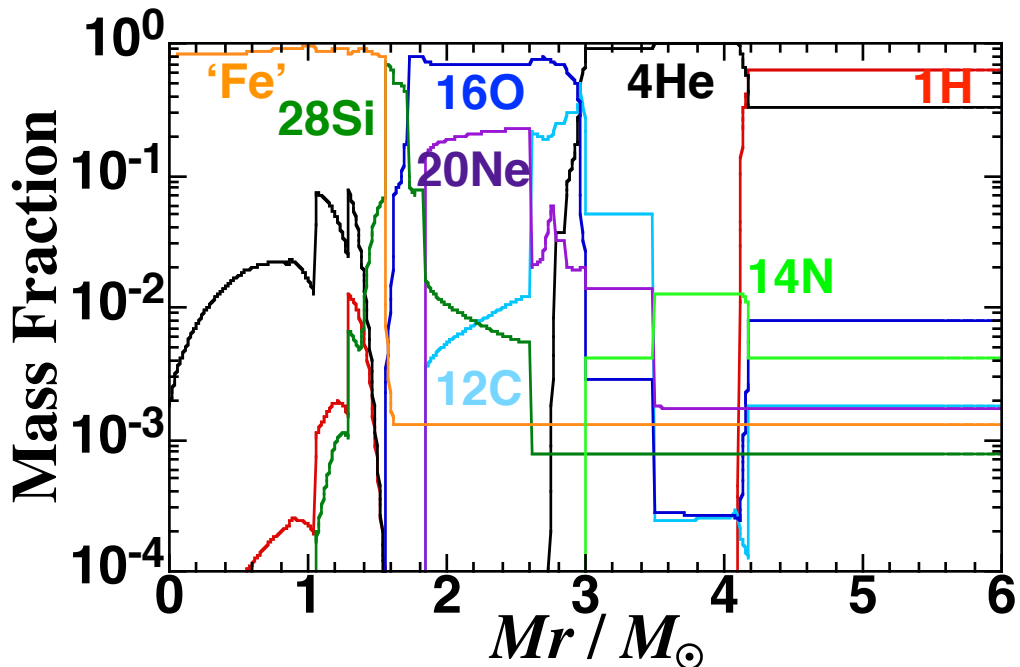


- ケイ素燃焼の期間の違い
- より多くのニュートリノを放出

他の大質量星モデルとの比較

● $15 M_{\odot}$ models

Woosley, Heger, Wever (2002)

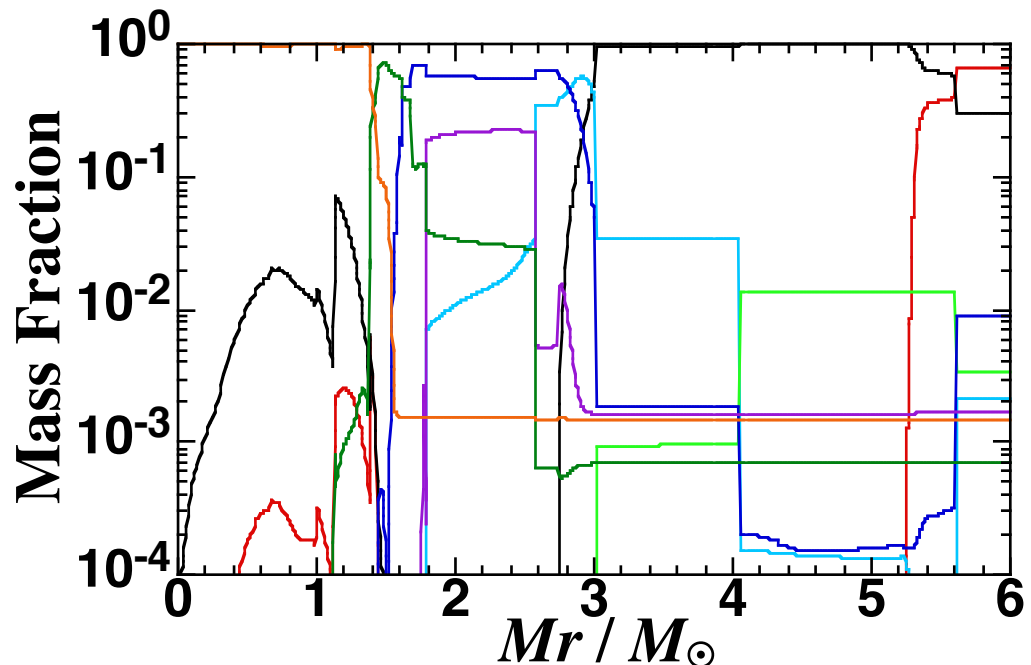


$$M_f = 12.6 M_{\odot}$$

$$M_{\text{CO}} = 2.85 M_{\odot}$$

$$M_{\text{Fe}} = 1.54 M_{\odot}$$

Limongi & Chieffi (2006)



$$M_f = 13.4 M_{\odot}$$

$$M_{\text{CO}} = 2.99 M_{\odot}$$

$$M_{\text{Fe}} = 1.39 M_{\odot}$$

● 新しいモデルはCOコアが大きめ

大質量星モデルの違い

- 対流領域の扱い
- Schwarzschild条件

$$\nabla_{\text{ad}} < \nabla_{\text{rad}} \rightarrow \text{対流層}$$

- Ledoux条件

$$\nabla_{\text{ad}} < \nabla_{\text{rad}} + \frac{\phi}{\delta} \nabla_{\mu} \rightarrow \text{対流層}$$

- 対流条件が組成分布にも依存

大質量星進化モデル

● 大質量星進化モデル

(TY & Umeda 2011; Umeda, TY, Takahashi 2012; Takahashi, TY, Umeda 2013;
TY, Okita, Umeda 2014; Takahashi, Umeda, TY 2014)

$$\frac{\partial P}{\partial M_r} = - \frac{GM_r}{4\pi r^4} - \frac{1}{4\pi r^2} \frac{\partial^2 r}{\partial t^2}$$

$$\frac{\partial r}{\partial M_r} = \frac{1}{4\pi r^2 \rho}$$

$$\frac{\partial \ln T}{\partial \ln P} = \min(\nabla_{\text{ad}}, \nabla_{\text{rad}})$$

$$\frac{\partial L_r}{\partial M_r} = \epsilon_{\text{nucl}} - \epsilon_v + \epsilon_{\text{grav}}$$

● 元素合成とエネルギー生成

→ 300核種(n , H - Br), 対流混合を拡散的に考慮

● 進化の途中での質量放出を考慮

● 初期組成 → 太陽系元素存在度 (Anders & Grevesse 1989)

大質量星におけるニュートリノ生成過程

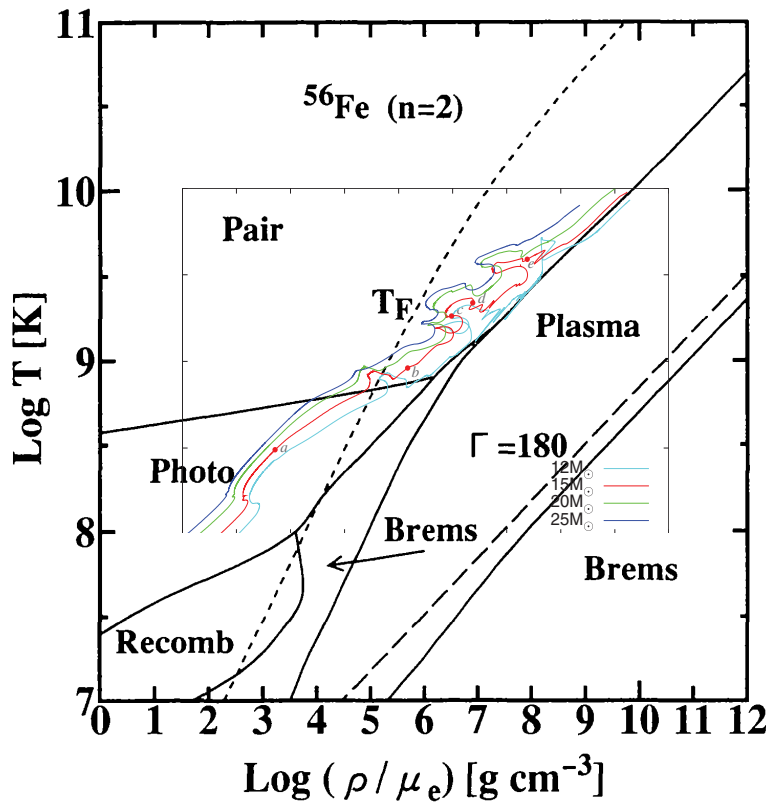


FIG. 13.—Same as Fig. 13, in the case of ^{56}Fe matter

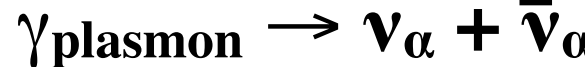
主要なエネルギー放出過程
(Itoh et al. 1996)

大質量星の進化経路
(Umeda, TY, Takahashi 2012)

- **pair neutrinos**



- **plasma neutrinos**



- **photo neutrinos**



- **Bremsstrahlung neutrinos**



- **recombination neutrinos**

- **weak interactions**



Neutrinoで探る超新星progenitor

- 星の質量, 距離などに対するニュートリノ検出数の依存性

→ $15, 17, 20, 40 M_{\odot}$ modelなど

● ベテルギウス → $d = 197.2 \pm 44.9 \text{ pc}$

$\log L/L_{\odot} = 5.12 @ 200 \text{ pc}$

(Harper et al. 2008)

$M_{\text{MS}} \sim 17 M_{\odot}$

● アンタレス → $d = 180 \pm 15\% \text{ pc}$

$\log L/L_{\odot} = 4.76 \pm 0.12$

$M_{\text{MS}} \sim 12 M_{\odot}$ (Schröder & Cunz 2007)

● γ^2 Velorum
(binary) → $d = 336 +8, -7 \text{ pc}$ (North et al. 2007)

$d = 368 +38, -13 \text{ pc}$ (Millour et al. 2007)

$M_{\text{WR}} = 9.0 \pm 0.6 M_{\odot}$ (North et al. 2007)

Si燃焼におけるNeutrino spectra

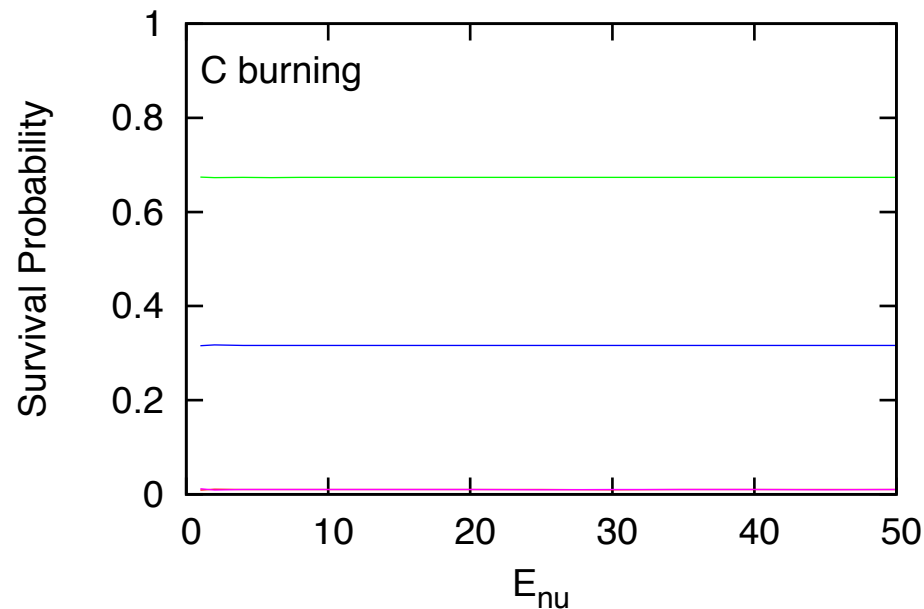
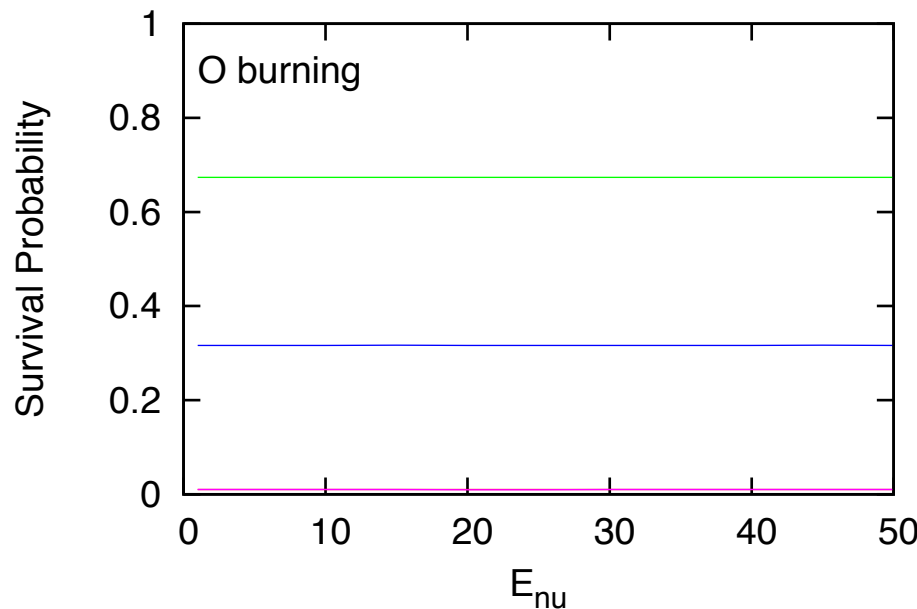
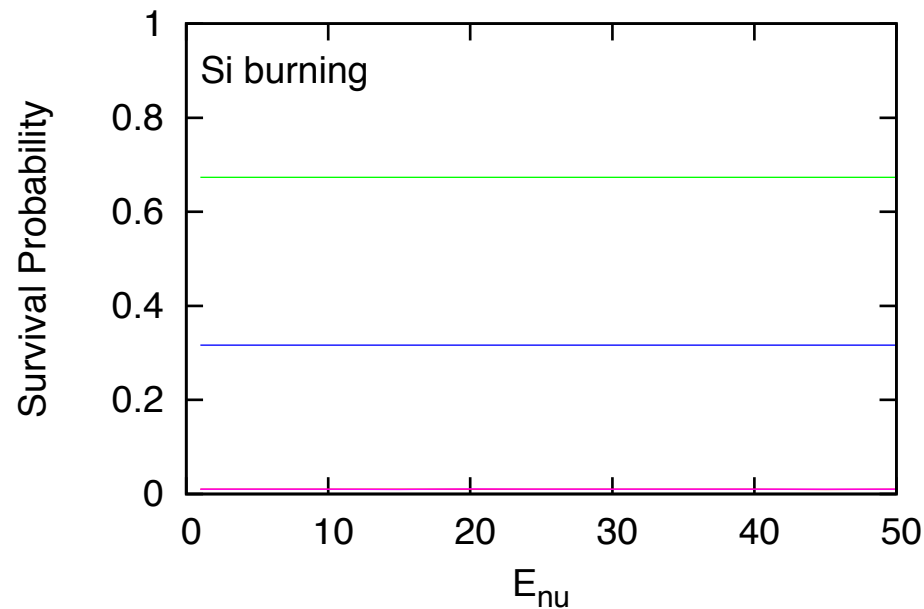
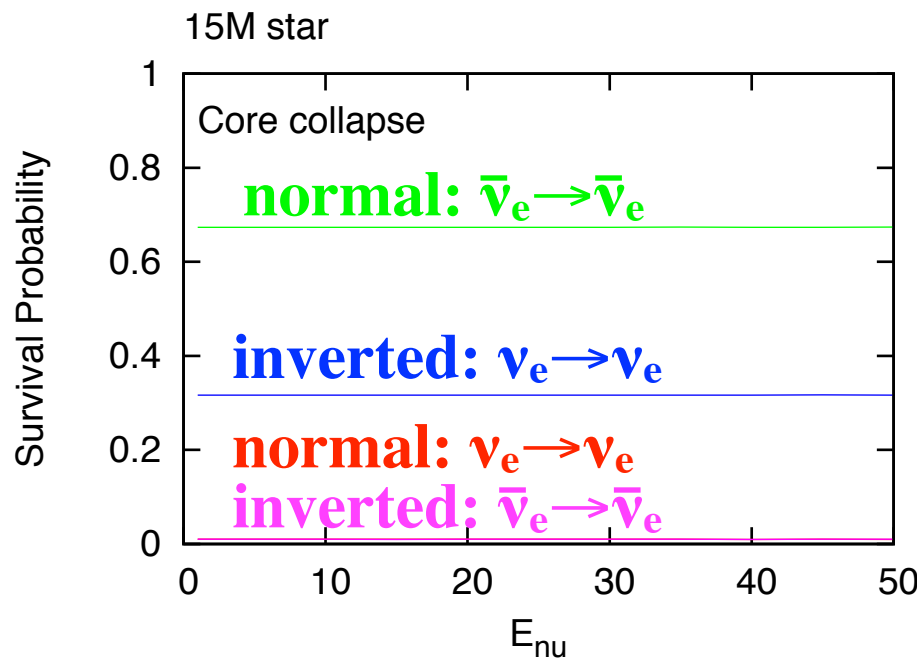
- pair neutrinoによるneutrino spectra
(Odrzywolek et al. 2004; Misiaszek et al. 2006)
- ベテルギウスが超新星爆発を起こしたときのKamLAND, SK, GADZOOKSなどでの観測可能性 (Odrzywolek et al. 2007)
→ 我々の見積りよりも多い…進化モデルの依存性?

TABLE 3. Signals for selected neutrino detectors from Betelgeuse. Detection prospects are very good in this case, but mainly during last 3 hours before core-collapse. Earlier detection will be possible in the GADZOOKS!, due to large target mass and detection of ~ 2 MeV neutrinos using Gd-dopped neutron tagging. Of course, any larger and more advanced detector will perform better, cf. next table.

Detector	Target mass	Min. $\bar{\nu}_e$ energy	Events 48-24 hours before collapse	Events 24-0 hours before collapse	Events 3-0 hours before collapse
Super-K	32 kt	5 MeV	0.6	173	158
GADZOOKS!	22.5 kt	3.8(1.8) MeV	9 (204)	442 (1883)	345 (1130)
Borexino	0.3 kt	2 MeV	2	22	13
KamLAND	1 kt	2 MeV	11	108	65
			5	46	27

130pcを仮定: 200pcだと0.42倍になる

ニュートリノ振動の効果



Neutrinoで探る超新星progenitor

- ニュートリノ検出時期, 検出数
→ Si燃焼を反映

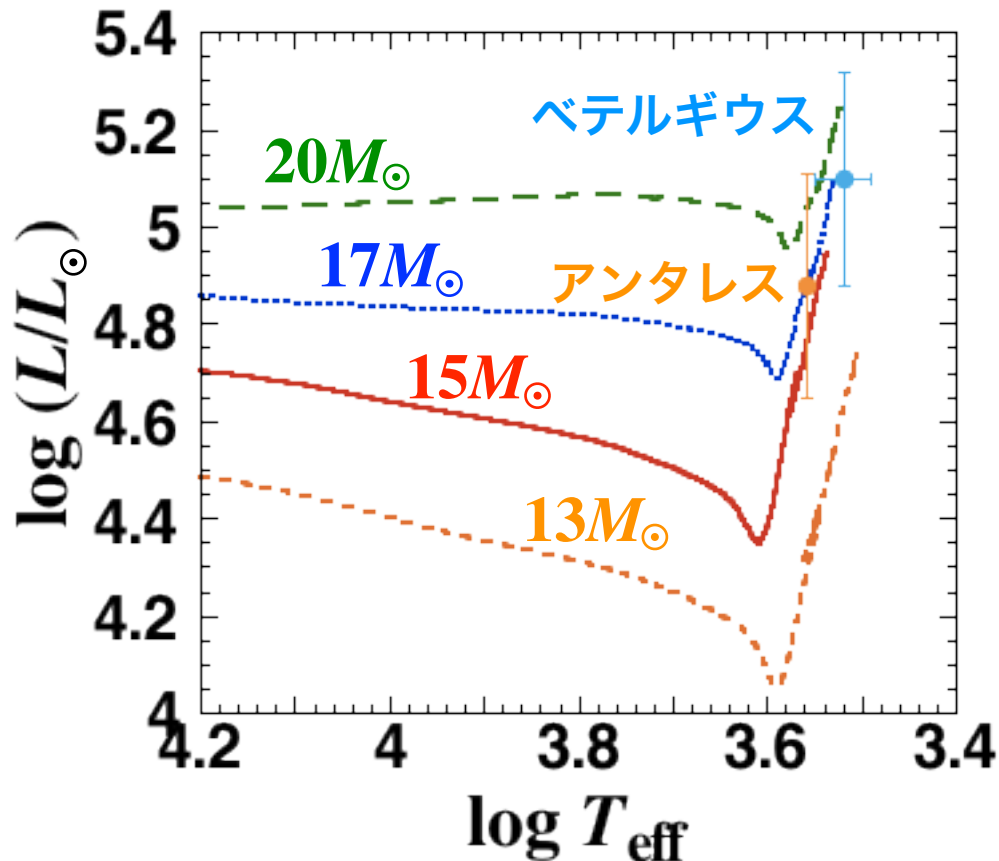
- ほ座 γ^2 (WR星)
 $d \sim 350$ pc
 $M_{\text{MS}} \sim 40 M_{\odot}$

アンタレス
 $d \sim 180$ pc
 $M_{\text{MS}} \sim 13 M_{\odot}$

ベテルギウス
 $d \sim 200$ pc
 $M_{\text{MS}} \sim 17 M_{\odot}$

星の不定性による影響

- 距離の不定性 \rightarrow 星の質量の不定性



● ベテルギウス
 $\rightarrow d = 197 \pm 45 \text{ pc}$
 $\log L/L_\odot = 5.10 \pm 0.22$
(Harper et al. 2008)

$\rightarrow M_{\text{MS}} \sim 14 - 21 M_\odot$

- 精度の高い距離測定が望ましい
- 星の質量に対する前兆neutrinoの依存性も重要